



## **Analytical solution of pollutant transport equation in different types of river networks considering distributed source term**

**Mohammad Javad Fardadi Shilsar<sup>1</sup>, Mehdi Mazaheri<sup>✉2</sup> and Jamal Mohammad Vali Samani<sup>3</sup>**

1. Department of Water Engineering and Management, Faculty of Agriculture, Tarbiat Modares University, Tehran, Iran.

Email: [m.fardadi@modares.ac.ir](mailto:m.fardadi@modares.ac.ir)

2. Corresponding Author, Department of Water Engineering and Management, Faculty of Agriculture, Tarbiat Modares University, Tehran, Iran. Email: [m.mazaheri@modares.ac.ir](mailto:m.mazaheri@modares.ac.ir)

3. Department of Water Engineering and Management, Faculty of Agriculture, Tarbiat Modares University, Tehran, Iran.  
Email: [samani\\_j@modares.ac.ir](mailto:samani_j@modares.ac.ir)

---

### **Article Info**

### **ABSTRACT**

**Article type:** Research Article

**Article history:**

**Received:** Apr. 20, 2022

**Received:** May. 23, 2022

**Accepted:** May. 30, 2022

**Published online:** July. 23, 2022

**Keywords:**

Concentration  
Distribution Function,  
Laplace Transform Method,  
Constant Coefficients,  
Mathematical Modeling,  
Advection-Dispersion-Reaction-  
Source Equation.

In this study, the analytical solution of the pollution transport equation considering distributed source term and initial condition was performed by Laplace transform method for a general river network in a finite domain with constant coefficients for upstream and downstream using Dirichlet boundary conditions. Existence of the source term and initial condition increases the computational complexity to find the particular solution of the ordinary differential equation. To evaluate the existing analytical solution, two hypothetical examples were presented, that in each, modeling was performed on two branch and loop networks types considering a distributed source of pollution. Input data for modeling each of the desired river networks include values of velocity, dispersion coefficient, branch lengths, flow area, and input concentrations from boundaries and distributed sources. By calculating the diffusion and Laplace mass balance matrices (by influencing the distributed source) in the river network based on the connection and data matrix, a nonlinear equations system is created according to the Laplace s variable, which by solving it, the pollution concentration matrix and consequently the pollution concentration in each node is calculated by numerical inverse Laplace algorithm. The numerical solution used to validate the proposed analytical solution. The results showed that the statistical indices of  $R^2$ , root mean square error, and mean absolute error in the best case were 99.86%, 0.0099, and 0.0067 kg/m<sup>3</sup> for 1456 route and in the worst case were 95.20%, 0.0309 and 0.0194 kg/m<sup>3</sup> for 23456 route of the loop network, respectively. The results showed that the two proposed solutions are well compatible together, indicating the good performance of the existing analytical solution and its replacement instead of numerical solution due to higher accuracy in the river network.

---

Cite this article: Fardadi Shilsar, M. J., Mazaheri, M., & Mohammad Vali Samani, J. (2022). Analytical solution of pollutant transport equation in different types of river networks considering distributed source term. *Iranian Journal of Soil and Water Research*, 53 (5), 1057-1077.

© The Author(s). Publisher: University of Tehran Press.

DOI: <http://doi.org/10.22059/ijswr.2022.341884.669250>



## حل تحلیلی معادله انتقال آلاینده در انواع شبکه رودخانه با لحاظ عبارت منبع گستردگی

محمد جواد فردادی شیل‌سر<sup>۱</sup>، مهدی مظاہری<sup>۲</sup>، جمال محمدولی سامانی<sup>۳</sup>

۱. گروه مهندسی و مدیریت آب، دانشکده کشاورزی، دانشگاه تربیت مدرس، تهران، ایران. ایمیل: [m.fardadi@modares.ac.ir](mailto:m.fardadi@modares.ac.ir)  
۲. نویسنده مسئول، گروه مهندسی و مدیریت آب، دانشکده کشاورزی، دانشگاه تربیت مدرس، تهران، ایران. ایمیل: [m.mazaheri@modares.ac.ir](mailto:m.mazaheri@modares.ac.ir)  
۳. گروه مهندسی و مدیریت آب، دانشکده کشاورزی، دانشگاه تربیت مدرس، تهران، ایران. ایمیل: [samani\\_j@modares.ac.ir](mailto:samani_j@modares.ac.ir)

### چکیده

### اطلاعات مقاله

در پژوهش حاضر، حل تحلیلی معادله انتقال آلدگی با لحاظ عبارت منبع گستردگی و شرط اولیه، برای یک شبکه رودخانه عام در یک دامنه محدود با ضرایب ثابت به ازاء شرایط مرزی بالادست و پایین دست از نوع دیریکله با روش تبدیل لاپلاس انجام گرفت. وجود عبارت منبع و شرط اولیه، پیچیدگی محاسبات را به لحاظ یافتن جواب خصوصی معادله دیفرانسیل معمولی دوچندان می‌کند. به منظور ارزیابی حل تحلیلی موجود، دو مثال فرضی ارائه گردید، که در هر کدام، مدل سازی بر روی دو نوع شبکه شاخه‌ای و حلقه‌ای با درنظر گرفتن یک منبع آلدگی گستردگی انجام گرفت. داده‌های ورودی برای مدل سازی هر یک از شبکه‌های رودخانه دلخواه شامل، مقادیر سرعت، ضریب پراکندگی، طول شاخه‌ها، سطح مقطع جریان و غلظت‌های ورودی از مرزها و منبع گستردگی می‌باشد. با محاسبه ماتریس‌های انتشار و بیان جرم لاپلاس گرفته شده (با تأثیر منبع گستردگی در آن) در شبکه رودخانه براساس ماتریس نحوه اتصال و ماتریس داده‌ها، یک دستگاه معادلات غیرخطی ای برحسب متفیر<sup>۱</sup> لاپلاس ایجاد می‌شود، که با حل آن، ماتریس غلظت آلدگی و به تبع آن غلظت آلدگی در هر گره با الگوریتم لاپلاس‌گیری وارون عددی محاسبه می‌شود. به منظور اعتبارسنجی حل تحلیلی پیشنهادی از حل عددی استفاده شد. نتایج نشان داد که شاخص‌های آماری  $R^2$ ، جذر میانگین مربع خطاهای و میانگین خطای مطلق در بهترین حالت به ترتیب ۸۶٪، ۹۹٪/۰۰۹۹ و ۰/۰۰۶۷ کیلوگرم بر مترمکعب برای مسیر مکعب برای مسیر ۱۴۵۶ و در بدترین حالت به ترتیب ۲۰٪/۹۵ و ۰/۰۳۰۹ و ۰/۰۱۹۴ کیلوگرم بر مترمکعب برای مسیر ۲۳۴۵۶ شبکه حلقه‌ای بوده و دو حل مذکور انطباق خوبی با یکدیگر داشته و نشان‌دهنده عملکرد مطلوب حل تحلیلی موجود و جایگزینی آن به جای حل عددی به دلیل دقت بالاتر در شبکه رودخانه می‌باشد.

نوع مقاله: مقاله پژوهشی

تاریخ دریافت: ۱۴۰۱/۱/۳۱

تاریخ بازنگری: ۱۴۰۱/۳/۲

تاریخ پذیرش: ۱۴۰۱/۳/۶

تاریخ انتشار: ۱۴۰۱/۵/۱

### واژه‌های کلیدی:

تابع توزیع غلظت،

روش تبدیل لاپلاس،

ضرایب ثابت،

مدل سازی ریاضی،

معادله جابه‌جایی-پراکندگی-واکنش -

منبع

استناد: فردادی شیل‌سر، محمد جواد؛ مظاہری، مهدی؛ و محمدعلی سامانی، جمال (۱۴۰۱). حل تحلیلی معادله انتقال آلاینده در انواع شبکه رودخانه با لحاظ عبارت منبع گستردگی، مجله تحقیقات آب و خاک ایران، ۵۳(۵)، ۱۰۷۷-۱۰۵۷.

DOI: <http://doi.org/10.22059/ijswr.2022.341884.669250>

ناشر: مؤسسه انتشارات دانشگاه تهران. © نویسنده‌ان



## مقدمه

آب یکی از ضروری ترین اجزای زندگی بشر بوده که هرگز ۱۰۰ درصد عاری از آلودگی نیست و به طور طبیعی دارای آلاینده هایی که عمدتاً مواد شیمیایی و میکروارگانیسم های ایجاد شده توسط فعالیت های انسانی است، می باشد (Fawell & Nieuwenhuijsen, 2003) و به عنوان یک منبع اصلی عفونت و بیماری در بین بشر شناخته شده است (Edokpayi et al., 2018).

یک شبکه رودخانه متشکل از شاخه هایی از رودخانه هاست، که به یکدیگر متصل بوده و یک شبکه رودخانه را به وجود می آورند و در آن جریان و آلودگی ناشی از آلاینده ها در یک یا چند نقطه به صورت زهکش خارج می گردد. شبکه های رودخانه ای عناصر کلیدی چشم انداز هستند، زیرا دلان های اکولوژیکی برای گونه های بیولوژیکی را نشان می دهند و به شکل قابل توجهی در شکل دهی واکنش هیدرولوژیکی حوضه ها کمک می کنند (Biswal & Marani, 2010; Rinaldo et al., 2018; Rodriguez-Iturbe et al., 2009) همچنین، شبکه های رودخانه ای ویژگی های زیستگاه سلسله مراتبی را برای آب زیان آب شیرین (Master et al., 1998; Matthews, 2012) و همچنین مسیر هایی برای بیماری های خطرناک منتقله از طریق آب (مانند وبا) فراهم می کنند (Pascual et al., 2002; Codeço, 2001؛ بنابراین، مسئله آلودگی شبکه های رودخانه مشکلات زیادی را در پی خواهد داشت و خسارات ناشی از آن بیشتر از یک شاخه از رودخانه خواهد بود.

مدل سازی ریاضی انتقال آلودگی در شبکه رودخانه توسط معادله جابه جایی - پراکندگی - واکنش - منبع<sup>۱</sup> (ADRSE) صورت می گیرد، که معادله مذکور، از نوع معادلات دیفرانسیل خطی با مشتقات جزئی نسبت به مکان و زمان بوده و براساس قانون اول فیک<sup>۲</sup> حاصل شده است، بنابراین، پاسخ این معادله، یکتابع توزیع غلظت بر حسب مکان و زمان می باشد. به منظور تعیین پاسخ تحلیلی معادله ADRE، تاکنون روش های متفاوتی توسط پژوهشگران ارائه شده است، که بیشتر آن ها برای محیط متخلف، و بعد از آن برای رودخانه ارائه شده است، اما درخصوص شبکه رودخانه، تحقیقات به عمل آمده محدود بوده، که تقریباً تمامی آن ها به جهت یافتن پاسخ معادله ADRE برگرفته از روش عددی است و در آن عبارت مربوط به منبع آلودگی یا لحاظ نشده و اگر لحاظ شده باشد، در حالت ساده، به صورت آلودگی نقطه ای می باشد. لازم به ذکر است، که از حل های تحلیلی به دلیل سرعت انجام محاسبات بالا و دقت زیاد آن نسبت به روش های عددی، به عنوان ابزاری جهت صححت سنجی روش های عددی به کار گرفته می شوند (Guerrero et al., 2009). همان طور که اشاره شد، تاکنون حل تحلیلی در بین پژوهش های موجود برای شبکه رودخانه وجود ندارد و تنها پژوهشگران به منظور مدل سازی از حل های عددی استفاده کرده اند، که می توان به پژوهش های (Zhang et al., 2008) و (Kilic & Aral, 2009) اشاره نمود، که محوریت کار آن ها براساس روش جداسازی عددی معادله ADE با روش طرح ضمنی<sup>۳</sup> می باشد. در پژوهشی دیگر که توسط Deng (2019) انجام گرفت، با استفاده تکنیک تجزیه و تحلیل رابطه خاکستری GRA و نرم افزار GIS به ارتباط بین کیفیت آب و ساختار اتصال شبکه رودخانه دشت جیانگ سو در شرق چین و استخراج الگوی مکانی کیفیت آب پرداخته شد. لازم به ذکر است که، درخصوص شبکه های بیولوژیکی و شبکه های تصفیه خانه ای نیز راه حل های تحلیلی برای حل معادله ADE نیز استخراج شده است. در زمینه شبکه های بیولوژیکی می توان به حل معادله یک بعدی انتقال املاح برای شبکه های میسیلیوم قارچی با استفاده از روش تبدیل لاپلاس<sup>۴</sup> برای دامنه محدود به ازاء شرایط مرزی ثابت اشاره کرد (Heaton et al., 2012). در پژوهشی دیگر نیز، Diamantini et al. (2019) از رویکرد تحلیلی روش لاگرانژ، برای شبکه تصفیه خانه ای رودخانه آدیگه در ایتالیا برای حل معادله ADE و تعیین آن برای شبکه استفاده نمودند.

به طور کلی، روش های تبدیل فوریه<sup>۵</sup>، تابع گرین<sup>۶</sup>، تبدیل انتگرالی تعمیم یافته<sup>۷</sup> (GIT) و تبدیل لاپلاس جزء متدالو ترین روش های تحلیلی برای حل معادله ADRE در محیط متخلف و رودخانه به شمار می روند (Chen et al., 2011; Fardadi Shilsar et al., 2022; Fedi et al., 2010; Leij et al., 1991; Leij et al., 1993; Mashhadgarne et al., 2019, 2021; Massabó et al., 2006, 2011; Mazaheri et al., 2013). روش تحلیلی تبدیل فوریه یکی از روش های قدیمی حل تحلیلی بوده، که کاربرد وسیعی در حل معادله ADE با ضرایب ثابت در محیط متخلف دارد (Yang et al., 2019). در پژوهشی دیگر که توسط Bharati et al. (2019) انجام گرفت، استخراج حل تحلیلی معادله یک بعدی انتقال آلودگی در یک دامنه محدود با صرف نظر از ترم منبع در محیط آب زیرزمینی با روش تبدیل فوریه صورت گرفت و

1 Advection-dispersion-reaction-source

2 First Fick's law

3 Implicit

4 Laplace transform method

5 Fourier transform method

6 Green function method

7 Generalized Integral Transform Technique

در آن ضریب پراکندگی تابعی درجه دو از مکان و سرعت ثابت لحاظ گردید، همچنین، ایشان در پژوهشی دیگر ضمن درنظر گرفتن سرعت و ضریب پراکندگی هر دو تابعی از مکان، معادله یکبعدی ADE را با به کارگیری تلفیق روش تبدیل فوریه و تغییر متغیر به صورت تحلیلی حل کردند (Bharati et al., 2018). روش تابع گرین یک روش کاربردی در زمینه مدلسازی انتقال آلودگی با حل معادله ADE در حالات یکبعدی، دو بعدی و سه بعدی با ضرایب ثابت و متغیر در دامنه های محدود، نیمه محدود و نامحدود در محیط های متخلخل و رودخانه می باشد (Leij & Van Genuchten, 2000; Park & Zhan, 2001; Sanskrityayn et al., 2017; Mashhadgarne et al., 2018; Sanskrityayn et al., 2018) (Sanskritayn et al., 2018).

Sanskritayn et al. در پژوهشی در محیط آب زیرزمینی، معادله یکبعدی ADE را با ضرایب متغیر با لحاظ ترم منبع و شرط اولیه و با درنظر گرفتن سرعت و ضریب پراکندگی تابعی از زمان یا مکان و یا هر دو با استفاده از ترکیب دو روش تابع گرین و تغییر متغیر در یک دامنه نامحدود حل کردند. در راستای همین پژوهش، ایشان در پژوهشی دیگر، با روش تابع گرین بر روی ترم منبع نقطه ای و گستره دادن محیط آب زیرزمینی متتمرکز شده و برای سه حالت سرعت و ضریب پراکندگی تابعی از زمان یا مکان و یا هر دو، حل خود را گسترش دادند (Sanskritayn et al., 2018). همچنین بعدها، ایشان در پژوهشی دیگر با به کارگیری روش تابع گرین در دامنه نامحدود، معادله یکبعدی ADE را با صرف نظر کردن از شرط اولیه و واکنش و با درنظر گرفتن ترم منبع نقطه ای و گستره برای محیط متخلخل با ضرایب متغیر حل کردند و شبیه سازی هایی را برای ترم منبع نقطه ای و گستره انجام دادند و نتایج را با حل عددی و سایر حل های تحلیلی قیاس کردند (Sanskritayn et al., 2021).

یکی دیگر از روش های پر کاربرد در حل مسائل مربوط به معادله انتقال آلودگی، روش انتگرال تمییم یافته GITT است، که روش مذکور مبتنی بر روش توابع ویژه بوده و در حل مسائل پیچیده معادلات<sup>1</sup> PDE با شرایط مرزی پیچیده کارگشا می باشد (Cotta et al., 2016; Leij et al., 1993). (Bharati et al., 2017). طی پژوهشی معادله یکبعدی انتقال آلودگی را در محیط متخلخل با صرف نظر کردن از ترم منبع و واکنش در یک دامنه محدود با درنظر گرفتن سرعت تابعی خطی از مکان و ضریب پراکندگی تابعی از مکان با درجه n با روش GITT به صورت تحلیلی حل کردند. بعدها، (Amiri et al., 2021) حل تحلیلی معادله یکبعدی ADRE را با ضرایب متغیر با استفاده از روش GITT توسعه دادند و با در نظر گرفتن ترم های منبع و واکنش، این معادله را برای رودخانه به صورت تحلیلی حل کردند و نتایج خود را با حل عددی و سایر حل های تحلیلی دیگران صحبت سنجی نمودند. لازم به ذکر است که، روش مذکور نیز در حل معادله دو بعدی انتقال آلودگی با ضرایب ثابت در دامنه محدود به ازاء چند منبع آلاینده فعال در رودخانه نیز مورد توجه (Mashhadgarne et al., 2020) بوده است. لازم به ذکر است که برخی از پژوهشگران نیز منحصرآ معادله یکبعدی ADE را به منظور برآورد ضریب پراکندگی در رودخانه ها حل نمودند (Ramezani et al., 2019).

یکی دیگر از روش های تحلیلی قدرتمند و پر کاربرد در حل معادله ADE، روش تبدیل لاپلاس است، که می تواند در یافتن پاسخ تحلیلی معادله مذکور، در حالت دو بعدی با ضرایب متغیر و با وجود ترم منبع در شرایطی که ضرایب سرعت، ضریب پراکندگی، ضریب زوال واکنش و ترم منبع تابعی از زمان و مکان باشند، در یک محیط متخلخل نیمه متناهی مفید باشد (Yadav & Kumar, 2019). (Moranda et al., 2018) در پژوهشی معادله یکبعدی انتقال آلودگی را در محیط آب زیرزمینی با ضرایب ثابت با روش تغییر متغیر و تبدیل لاپلاس در حالت عدم وجود ترم منبع در دامنه های محدود و نیمه محدود با درنظر گرفتن شرط مرزی ورودی از نوع دیریکله و رابین و شرط مرزی خروجی نیومن و حد بی نهایت غلظت برابر با صفر به صورت تحلیلی حل کردند، این در حالیست که، Carr (2020) معادله یکبعدی ADRE را با ضرایب متغیر با فرض ثابت بودن سرعت و ضریب پراکندگی برای هر لایه در یک محیط متخلخل m لایه با بهره گیری از روش تبدیل لاپلاس به صورت تحلیلی حل نمود. همچنین طی دو پژوهشی، حل تحلیلی فرم یکبعدی، دو بعدی و سه بعدی معادله ADRE با ضرایب ثابت در حالت وجود و یا عدم وجود ترم های منبع و واکنش در محیط رودخانه با روش تبدیل لاپلاس انجام شد (Genuchten et al., 2013a, 2013b).

به طور کلی، از کابردهای مهم لحاظ عبارت منبع در معادله انتقال می توان به این مورد اشاره کرد که، یک شبکه رودخانه علاوه بر مرزها، در طول مسیر نیز در معرض انواع آلودگی ها قرار می گیرد، که برای محاسبه غلظت آلودگی آن ها، بایستی عبارت منبع به معادله انتقال اضافه شود تا غلظت مورد نظر از طریق آن وارد محاسبات شود. براساس بررسی های انجام شده در خصوص پیشینه تحقیقات، می توان اذعان داشت که تقریباً تمامی حل های تحلیلی ارائه شده برای معادله انتقال آلودگی با لحاظ عبارت منبع (گستره و نقطه ای) در محیط متخلخل و رودخانه بوده و برای شبکه رودخانه عملاً حل تحلیلی با وجود عبارت منبع گستره به دلیل پیچیدگی شبکه رودخانه،

حجم محاسبات زیاد، محدودیت‌های روش‌های تحلیلی، دشواری کمی کردن منابع آلایینده غیرنقطه‌ای و ... وجود ندارد. همچنین، در زمینه حل‌های تحلیلی‌ای که تاکنون پژوهشگران برای حل معادله انتقال آلودگی با وجود عبارت منبع در محیط‌های متخلخل و رودخانه انجام داده‌اند نیز، عبارت منبع در بیشتر موارد به صورت آلودگی نقطه‌ای به‌ازاء فعالیت یک یا چند منبع آلایینده فعال در نظر گرفته شده (که تبدیل آن بسیار راحت بوده و با درنظر گرفتن ضرب تابع مکانی دلتای دیراک در تابع زمانی غلظت آلودگی انجام می‌گیرد) و در برخی موارد نیز عبارت منبع به صورت آلودگی پیوسته با الگوی ساده (مانند الگوی سینوسی، کسینوسی، ثابت و نمایی) از ابتدای مسیر تا انتهای آن در محیط متخلخل و یا رودخانه درنظر گرفته شده است و حالت مذکور را شبیه‌سازی کرده‌اند. همچنین، برخی از پژوهشگران نیز صرفاً عبارت منبع را به صورت آلودگی خود آورده‌اند اما شبیه‌سازی‌هایی به‌دلیل زمان بر بودن و هزینه محاسباتی بیشتر انجام ندادند. در خصوص حل‌های عددی محدودی که در شبکه رودخانه توسط پژوهشگران انجام گرفته است، چون این حل‌ها مبتنی بر روش‌های جداسازی یا نرم‌افزارهای مهندسی می‌باشند نسبت به حل‌های تحلیلی دارای دقت پایین‌تری می‌باشند، همچنین در روش‌های عددی مبتنی بر روش‌های جداسازی، تاکنون لحاظ عبارت منبع در معادله آلودگی برای شبکه رودخانه دیده نشده است و پژوهشگران برای مدل‌سازی عبارت منبع از نرم‌افزارهای عددی‌ای استفاده کرده‌اند که خود دارای خطاهای رایج عددی می‌باشند. بنابراین، مهم‌ترین نوآوری این پژوهش، استخراج یک راه حل تحلیلی عام برای معادله یک‌بعدی انتقال آلودگی (که نوع آلودگی به صورت محلول با الگوی آلودگی واکنش‌پذیر درجه اول می‌باشد) با لحاظ عبارت منبع گستردۀ (که از آن می‌توان برای منبع آلایینده نقطه‌ای با استفاده از تعریف تابع دلتای دیراک استفاده نمود) در شبکه رودخانه با استفاده روش تبدیل لاپلاس تحت وجود شرط اولیه و شرایط مرزی بالادست و پایین‌دست از نوع اول می‌باشد. همچنین یکی از مهم‌ترین جنبه‌های نوآوری دیگر این پژوهش برخلاف پیشینه‌های ذکر شده این است که، عبارت منبع به صورت آلودگی ای با یک طول مشخص در یک فاصله کوتاه در مسیر شبکه رودخانه توزیع شده است و حالت مذکور مورد شبیه‌سازی قرار خواهد گرفت. در ادامه نیز، مدل‌سازی مبتنی بر وجود منبع آلایینده گستردۀ در دو شبکه شاخه‌ای<sup>۱</sup> و حلقه‌ای<sup>۲</sup> به‌ازاء الگوی شرایط مرزی دلخواه و مقایسه آن با حل عددی انجام می‌شود.

## مبانی تئوری و روش‌ها

### جمع‌آوری داده‌ها و نحوه ارزیابی و صحبت‌سنجدی مدل تحلیلی

همان‌طور که ذکر گردید، حل تحلیلی معادله انتقال آلودگی در شبکه رودخانه با لحاظ عبارت منبع گستردۀ، تاکنون در سطح بین‌المللی در پژوهش‌های انجام شده وجود نداشته و برای اولین بار این مطالعه در دانشگاه تربیت مدرس تهران انجام گرفته است. در زمینه حل‌های تحلیلی معادله انتقال آلودگی، عموماً پژوهشگران بسیاری برای صحبت‌سنجدی و اعتبار‌سنجدی حل‌های تحلیلی خود از حل‌های تحلیلی سایر پژوهشگران دیگر و یا حل‌های عددی (مدل‌های عددی) استفاده کرده‌اند (Bharati et al., 2017, 2018; Carr, 2020; ; Chen et al., 2011)، در این پژوهش نیز، به‌دلیل عدم وجود حل تحلیلی برای معادله انتقال آلودگی با لحاظ عبارت منبع برای آن در شبکه رودخانه، از حل عددی تفاضلات محدود<sup>۳</sup> با گسسته‌سازی تمام ضمنی<sup>۴</sup> با تقریب مشتق مکانی مرکزی<sup>۵</sup> در مکان با هدف کاهش پراکندگی عددی، برای اعتبار‌سنجدی و مقایسه با حل تحلیلی موجود در این پژوهش استفاده می‌شود، که استفاده از حل عددی مذکور در مطالعات سایر پژوهشگران نیز دیده شده است (Fardadi Shilsar et al., 2022; Mashhadgarne et al., 2013,2017). در انتهای نیز، با استفاده از شاخص‌های خطای آماری مانند، ضریب همبستگی ( $R^2$ )، جذر میانگین مربع خطاهای ( $RMSE$ ) و میانگین خطای مطلق ( $MAE$ ) دو حل مذکور در هر کدام از دو مثال مورد مقایسه قرار می‌گیرند. لازم به‌ذکر است که، پژوهش‌گران بسیاری برای حل تحلیلی معادله انتقال آلودگی در مطالعات خود در محیط‌های رودخانه و متخلخل از حل عددی به جهت اعتبار‌سنجدی استفاده نموده‌اند (Bharati et al., 2019; Carr, 2020; Mazaheri et al., 2013; Sanskrityayn et al., 2018; Sanskrityayn et al., 2021). همچنین در این پژوهش نیز ضمن اینکه مدل‌سازی بر روی دو نوع شبکه شاخه‌ای و حلقه‌ای دلخواه (فرضی) جهت نشان دادن کاربرد حل تحلیلی موجود انجام می‌شود، داده‌های ورودی آن شامل، داده‌های سرعت، ضریب پراکندگی، سطح مقطع جریان، طول شاخه‌ها، ضریب زوال واکنش، غلظت آلایینده

1 Branch river network

2 Loop river network

3 Finite difference

4 Fully implicit

5 Central space

ورودی از مرزاها و غلظت منبع آلاینده گستردگی باشد، که با توجه به این که برای یک شبکه رودخانه تمامی داده‌های مذکور اعم از سرعت، ضریب پراکندگی، سطح مقطع عرضی، غلظت‌های ورودی و ... باهم و به صورت یکجا وجود ندارند، لذا، نحوه جمع آوری داده‌ها برای این پژوهش براساس و الهام گرفته از اطلاعات و تجربیات نویسنده‌گان این مطالعه و سایر پژوهشگران دیگر در زمینه حل تحلیلی معادله ADRE با لحاظ عبارت منبع می‌باشد، چرا که بسیاری از پژوهشگرانی که در زمینه حل تحلیلی معادله انتقال آبودگی در محیط متخلخل و رودخانه مطالعات خود را انجام دادند نیز، از داده‌های منطقی و معقول براساس تجربیات خود و سایر محققین دیگر استفاده نموده‌اند (Bharati et al., 2019; Chen et al., 2011; Mashhadgarme et al., 2021; Mazaheri et al., 2013; Genuchten et al., 2013a, 2013b) همچنین لازم به ذکر است که در پژوهش‌های مربوط به حل تحلیلی معادله انتقال آبودگی، عموماً پژوهشگران به منظور نشان دادن کاربرد راه حل تحلیلی پیشنهادی خود منطقه مورد مطالعه‌ای تعریف نمی‌کنند و کاربرد حل تحلیلی خود را طی سناریوها یا مثال‌هایی فرضی نشان می‌دهند (Moranda et al., 2018; Park & Zhan, 2001; Yadav & Kumar, 2019) از این رو در این پژوهش نیز، هدف نشان دادن کاربرد راه حل تحلیلی ارائه شده برای شبکه رودخانه طی دو مثال فرضی خواهد بود. لازم به ذکر است که در صورت وجود مجموعه کاملی از داده‌ها برای یک شبکه رودخانه موردی، راه حل پیشنهادی برای مدل‌سازی تحلیلی برای کلیه شبکه‌های رودخانه در سطح بین‌المللی کاربرد دارد.

### فرضیات، مزایا و معایب رویکرد حل تحلیلی

همان‌طور که ذکر شد، در این مطالعه از روش تحلیلی تبدیل لاپلاس به منظور حل تحلیلی معادله دیفرانسیل انتقال آبودگی در شبکه رودخانه استفاده شده است. با توجه به فیزیک مسئله و اهمیت محاسبه غلظت در گره‌های اتصال شاخه‌ها به یکدیگر در شبکه رودخانه، از شرایط مرزی بالادست و پایین‌دست از نوع دیریکله در شبکه استفاده می‌شود. بنابراین در این مطالعه، از روش تحلیلی تبدیل لاپلاس به دلیل عدم وجود مشکل دامنه حل (نیمه‌محدود بودن آن) و همگن‌سازی شرایط مرزی و همین‌طور هزینه محاسباتی کمتر و کاربری آسان آن برای شبکه رودخانه نسبت به سایر تبدیلات انتگرالی دیگر در حل معادله ADE مانند، تبدیل فوریه – که برای دامنه نامحدود به کار می‌رود و اثر مرز را در نظر نمی‌گیرد – و تبدیل انتگرال تعییم‌یافته (GITT) – که در آن مشکل همگن‌سازی شرایط مرزی وجود دارد – استفاده می‌شود. برخی از نقاط قوت روش تحلیلی تبدیل لاپلاس عبارتست از:

تبدیل لاپلاس (LT) برای مطالعه پاسخ‌های گذرا (یا پاسخ‌های زمانی) سیستم‌های خطی زمان ثابت (LTIS) مفید است.

مسائل را به طور مستقیم حل می‌کند و اعمال مسائل مقدار شرط اولیه در آن آسان می‌باشد (Kreyszig, 2009).

مهم‌ترین مزیت آن به کارگیری توابع پله‌ای<sup>1</sup> و دلتای دیراک<sup>2</sup> بوده، که تحت وجود ترم منبع پیچیده استفاده از این روش را آسان می‌کند (Kreyszig, 2009).

با حل معادله دیفرانسیل توسط روش تبدیل لاپلاس، می‌توان هر دو مؤلفه گذار و حالت ماندگار جواب را یکجا محاسبه نمود (Korn & Korn, 2000).

همچنین برخی از نقاط ضعف این روش به شرح زیر می‌باشد:

از روش تبدیل لاپلاس فقط می‌توان برای حل معادلات دیفرانسیل با ثابت‌های شناخته شده استفاده کرد و اگر معادله‌ای بدون ثابت‌های شناخته شده باشد، استفاده از این روش بی‌فاایده خواهد بود.

هیچ تبدیل لاپلاس سریعی مطابق با تبدیل فوریه سریع وجود ندارد.

تبدیل لاپلاس وارون به طور کلی پیچیده بوده و این یکی از مهم‌ترین محدودیت‌های این روش است.

روش تبدیل لاپلاس (LT) تنها برای حل معادلات دیفرانسیل جزئی‌ای استفاده می‌شود که یکی از متغیرهای اصلی آن دارای دامنه نیمه‌محدود و یا نامحدود باشد.

### مدل‌سازی ریاضی

روش تبدیل لاپلاس یکی از ابزارهای تحلیلی قدرتمند جهت حل معادله ADRE می‌باشد که برای شرایط‌های مرزی مسائل دیریکله<sup>3</sup>،

1 Heaviside Function

2 Dirac Function

3 Dirichlet

نیومن<sup>۱</sup> و کوشی<sup>۲</sup> پیشنهاد می‌شود و این تکنیک برای فرآیندهای چند ماده‌ای آلاینده‌ای معتبر بوده و وابستگی نمایی را در زمان اولیه منبع درنظر می‌گیرد (Clement, 2001; Srinivasan & Clement, 2008a, 2008b). به منظور حل یک معادله دیفرانسیل جزئی با روش تبدیل لاپلاس، مراحل زیر دنبال می‌شود (Kreyszig, 2009):

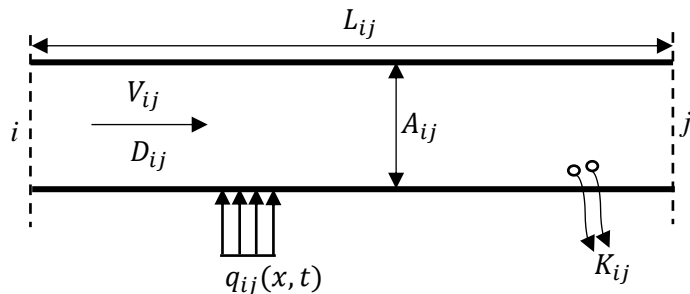
اعمال تبدیل لاپلاس بر روی یکی از متغیرهای مستقل، معمولاً  $t$  و تبدیل معادله PDE به یک معادله دیفرانسیل معمولی (ODE)

اعمال تبدیل لاپلاس بر روی شرایط مرزی

حل تحلیلی معادله دیفرانسیل معمولی تشکیل شده و محاسبه ضرایب ثابت ایجاد شده از آن

اعمال تبدیل لاپلاس وارون جهت حل مسئله اصلی

در این پژوهش، به منظور حل تحلیلی معادله جابه‌جایی-پراکندگی-واکنش با لحاظ ترم منبع گستردگی، فرض می‌شود که منابع آلاینده ورودی در اثر فرآیند واکنش در شبکه تحويل داده یا مصرف می‌گردد، بنابراین، منبع آلودگی‌ای که باقی می‌ماند با فرآیندهای جابه‌جایی و پراکندگی در شبکه حرکت می‌کند، از این‌رو، در گره‌های اتصال در شبکه رودخانه، سیستم اختلاط کامل وجود دارد. شکل ۱، نمای شماتیک یک شاخه از شبکه رودخانه را نشان می‌دهد. در شکل ۱، گره  $i$  به عنوان گره بالادست یک شاخه رودخانه، گره  $j$  به عنوان گره پایین‌دست یک شاخه رودخانه،  $A_{ij}$  سطح مقطع جریان،  $D_{ij}$  مقدار ضریب پراکندگی،  $L_{ij}$  طول یک شاخه رودخانه،  $(q_{ij}(x,t))$  ترم منبع ورودی،  $V_{ij}$  سرعت جریان آن از گره  $i$  به  $j$  باشد را نشان می‌دهد ( $V_{ij} = -V_{ji}$ ).



شکل ۱. ویژگی‌های نمای شماتیک یک شاخه از شبکه رودخانه

#### معادلات اساسی مدل‌سازی

معادله دیفرانسیل حاکم بر انتقال و انتشار آلاینده‌ها در شبکه رودخانه همان معادله جابه‌جایی-پراکندگی-واکنش-منبع می‌باشد. این معادله با درنظر گرفتن ضرایب ثابت براساس قانون فیک برای یک شاخه از شبکه رودخانه در دامنه محدود  $0 \leq x \leq L_{ij}$  به صورت زیر بیان می‌شود (Chapra, 2008):

$$\frac{\partial c_{ij}(x,t)}{\partial t} = D_{ij} \frac{\partial^2 c_{ij}(x,t)}{\partial x^2} - V_{ij} \frac{\partial c_{ij}(x,t)}{\partial x} - K_{ij} c_{ij}(x,t) + A_{ij} q_{ij}(x,t) \quad (1)$$

که در آن  $c_{ij}$  تابع غلظت آلودگی در واحد طول در مکان  $x$  و زمان  $t$ ،  $D_{ij}$  ضریب پراکندگی در راستای  $x$ ،  $V_{ij}$  سرعت جریان،  $q_{ij}(x,t)$  ترم منبع در هر شاخه  $ij$ ،  $A_{ij}$  سطح مقطع جریان و  $K_{ij}$  بیان گر ضریب زوال واکنش می‌باشد. علت درنظر گرفتن  $c_{ij}$  در واحد طول این است که، سطح مقطع جریان به عنوان یک پارامتر کلیدی، لازم است از طریق روابط (۲) و (۳) که به ترتیب نشان‌دهنده شرط اولیه با تابع  $f_{ij}(x)$  در هر شاخه و شرایط مرزی بالادست و پایین‌دست رودخانه می‌باشند، وارد محاسبات در ادامه شود، لذا:

$$IC : f_{ij}(x) = \frac{c_{ij}(x,0)}{A_{ij}} \Rightarrow c_{ij}(x,0) = A_{ij} f_{ij}(x) \quad (2)$$

$$\begin{cases} c_i(t) = \frac{c_{ij}(0,t)}{A_{ij}} \\ c_j(t) = \frac{c_{ij}(L_{ij},t)}{A_{ij}} \end{cases} \Rightarrow BC : \begin{cases} c_{ij}(0,t) = A_{ij} c_i(t) \\ c_{ij}(L_{ij},t) = A_{ij} c_j(t) \end{cases} \quad (3)$$

1 Newman

2 Cauchy

3 Ordinary differential equation



معادلات (۳) بیان گر شرط مرزی بالادست و پایین دست از نوع دیریکله در یک شاخه از رودخانه می‌باشد. اگر در شبکه رودخانه، بین گره‌های  $i$  و  $j$  اتصالی وجود نداشته باشد، در این صورت مقدار سطح مقطع جریان برابر با صفر و به تبع آن، غلظت آلوگی صفر خواهد بود. می‌توان اذعان داشت که برای هر گره  $i$  در شبکه رودخانه، با توجه به قانون فیزیکی فیک رابطه‌ای براساس مجموع بارگذاری‌های جابه‌جایی و پراکندگی وجود دارد که به صورت زیر بیان می‌شود (Heaton et al., 2012; Koplik et al., 1988):

$$J_{ij}(t) = \left[ V_{ij} c_{ij}(x, t) - D_{ij} \frac{\partial c_{ij}(x, t)}{\partial x} \right]_{x=0} \quad (4)$$

در رابطه بالا،  $J_{ij}(t)$  بیان گر بیلان جرم در شبکه رودخانه بوده و نشان‌دهنده ورود یک منبع به گره  $j$  است. با توجه به اینکه در شبکه رودخانه ممکن است بیش از یک اتصال شاخه به گره  $j$  وجود داشته باشد، بنابراین، رابطه (۴) به صورت رابطه (۵) تعمیم داده می‌شود (Heaton et al., 2012; Koplik et al., 1988):

$$I_i(t) = \sum_j \left[ V_{ij} c_{ij}(x, t) - D_{ij} \frac{\partial c_{ij}(x, t)}{\partial x} \right]_{x=0} \quad (5)$$

بنابراین، در رابطه (۵)،  $I_i(t)$  جریان خالص آلوگی خارج شده از هر گره  $i$  را نشان می‌دهد.

حل تحلیلی معادله جابه‌جایی-پراکندگی-واکنش-منبع در یک شاخه رودخانه به منظور حل تحلیلی معادله انتقال آلوگی رابطه (۱) با لحاظ عبارت منبع گسترده برای آن در دامنه محدود  $L_{ij} \leq x \leq 0$ ، ابتدا بایستی از معادلات (۱) و (۳) نسبت به متغیر زمان لاپلاس گرفته شود (دلیل اعمال تبدیل لاپلاس بر روی متغیر  $t$  به دلیل نیمه‌محدود بودن آن است) و سپس با لحاظ شرط اولیه  $c_{ij}(0, s)$  در معادله لاپلاس گرفته شده از رابطه (۱)، معادلات حاصل به شرح زیر می‌باشند:

$$(s + K_{ij}) C_{ij} + V_{ij} \frac{\partial C_{ij}}{\partial x} - D_{ij} \frac{\partial^2 C_{ij}}{\partial x^2} = \psi_{ij}(x, s) \quad (6)$$

$$BC : \begin{cases} C_{ij}(0, s) = A_{ij} C_i(s) \\ C_{ij}(L_{ij}, s) = A_{ij} C_j(s) \end{cases} \quad (7)$$

که در آن:

$$\psi_{ij}(x, s) = A_{ij} Q_{ij}(x, s) + A_{ij} f_{ij}(x) \quad (8)$$

باتوجه به دو معادله (۶) و (۸)، لحاظ ترم منبع و شرط اولیه در معادله اصلی (۱)، باعث شده است که بعد از اعمال تبدیل لاپلاس در معادله (۱)، معادله دیفرانسیل معمولی (۶) حاصله، ناهمگن گردد، در این صورت معادله مذکور دو جواب عمومی و خصوصی خواهد داشت، که به دست آوردن جواب خصوصی پیچیدگی و دشواری به مراتب بیشتری نسبت به جواب عمومی دارد. در ادامه، علاوه‌بر لاپلاس گیری از معادلات (۱) و (۳)، از معادله (۵) یعنی بیلان جرم تعمیم یافته بهازاء چند اتصال از هر گره  $i$  نیز نسبت به متغیر زمان لاپلاس گرفته می‌شود، در این صورت:

$$\varphi_i(s) = \sum_j \left[ V_{ij} C_{ij}(x, s) - D_{ij} \frac{\partial C_{ij}(x, s)}{\partial x} \right]_{x=0} \quad (9)$$

در معادله بالا،  $\varphi_i(s)$  نشان‌دهنده تبدیل لاپلاس ( $I_i$ )، شار عبوری از گره  $i$  می‌باشد. همان‌طور که ذکر گردید، پس از لاپلاس گیری از معادله انتقال آلوگی با لحاظ عبارت منبع، معادله (۶) حاصل گردید، که معادله مورد نظر یک معادله دیفرانسیل معمولی ناهمگن بوده و دارای دو جواب عمومی و خصوصی می‌باشد. جواب عمومی معادله (۶) با درنظر گرفتن  $\psi_{ij}(x, s) = 0$  (یعنی تاثیر شرط اولیه و ترم منبع لحاظ نمی‌شود) به دست می‌آید، که معادله (۶) در این صورت همگن خواهد شد، در این صورت:

$$(s + K_{ij}) C_{ij} + V_{ij} \frac{\partial C_{ij}}{\partial x} - D_{ij} \frac{\partial^2 C_{ij}}{\partial x^2} = 0 \quad (10)$$

که با درنظر گرفتن رابطه (۱۱) و دو نسبت بدون بعد برای هر شاخه  $ij$  در روابط (۱۲) به شرح زیر:

$$\alpha_{ij}(s) = \Delta = \sqrt{V_{ij}^2 + 4D_{ij}(s + K_{ij})} \quad (11)$$

$$\theta_{ij} = \frac{V_{ij} L_{ij}}{2D_{ij}}, \quad \xi_{ij}(s) = \frac{\alpha_{ij}(s)L_{ij}}{2D_{ij}} \quad (12)$$

معادله (۱۰) به ازاء سه حالت  $s < 0$ ,  $s = 0$  و  $s > 0$  یکبار حل شده و تنها به ازاء  $s > 0$  دارای جواب می‌باشد، در این صورت با محاسبه ریشه‌های معادله (۱۰)، ضرایب ثابت  $B_1$  و  $B_2$  به وجود می‌آید. پاسخ عمومی معادله ODE رابطه (۶)، به صورت رابطه (۱۳) می‌باشد:

$$C_{ij}(x, s) = B_1 e^{\left(\theta_{ij} + \xi_{ij}(s)\right) \frac{x}{L_{ij}}} + B_2 e^{\left(\theta_{ij} - \xi_{ij}(s)\right) \frac{x}{L_{ij}}} \quad (13)$$

بعد از یافتن پاسخ عمومی معادله (۶)، با استفاده از روش تغییر متغیر پارامترها (روش لاگرانژ<sup>۱</sup>) و درنظر گرفتن دو جواب همگن  $C_2(x, s) = e^{\left(\theta_{ij} - \xi_{ij}(s)\right) \frac{x}{L_{ij}}}$  و  $C_1(x, s) = e^{\left(\theta_{ij} + \xi_{ij}(s)\right) \frac{x}{L_{ij}}}$  ابتدا حاصل رونسکین<sup>۲</sup> به صورت زیر خواهد بود:

$$W_{ij}(x, s) = C_1(x, s) \frac{\partial C'_2(x, s)}{\partial x} - C_2(x, s) \frac{\partial C'_1(x, s)}{\partial x} = \frac{-a_{ij}(s) e^{\frac{2\theta_{ij}x}{L_{ij}}}}{D_{ij}} \quad (14)$$

با به کارگیری روش تغییر متغیر پارامترها، به ازاء هر  $s$  و هرتابع  $\psi_{ij}(x, s)$  داده شده، پاسخ اختصاصی معادله (۶) با توجه به روابط

(۲۹) تا (۳۱) پیوست مقاله به صورت زیر محاسبه می‌شود:

$$g(x, s, \psi_{ij}(y, s)) = \frac{e^{\left(\theta_{ij} - \xi_{ij}(s)\right) \frac{x}{L_{ij}}}}{a_{ij}(s)} \int_0^x e^{\left(\xi_{ij}(s) - \theta_{ij}\right) \frac{y}{L_{ij}}} \psi_{ij}(y, s) dy - \frac{e^{\left(\theta_{ij} + \xi_{ij}(s)\right) \frac{x}{L_{ij}}}}{a_{ij}(s)} \int_0^x e^{-\left(\xi_{ij}(s) + \theta_{ij}\right) \frac{y}{L_{ij}}} \psi_{ij}(y, s) dy \quad (15)$$

با به کارگیری رابطه (۸)، رابطه (۱۵) به صورت رابطه (۱۶) بازنویسی می‌شود:

$$g(x, s, Q_{ij}(y, s), f_{ij}(y)) = \frac{e^{\left(\theta_{ij} - \xi_{ij}(s)\right) \frac{x}{L_{ij}}}}{a_{ij}(s)} \int_0^x e^{\left(\xi_{ij}(s) - \theta_{ij}\right) \frac{y}{L_{ij}}} [A_{ij}Q_{ij}(y, s) + A_{ij}f_{ij}(y)] dy - \frac{e^{\left(\theta_{ij} + \xi_{ij}(s)\right) \frac{x}{L_{ij}}}}{a_{ij}(s)} \int_0^x e^{-\left(\xi_{ij}(s) + \theta_{ij}\right) \frac{y}{L_{ij}}} [A_{ij}Q_{ij}(y, s) + A_{ij}f_{ij}(y)] dy \quad (16)$$

با لحاظ خاصیت جداپذیری انتگرال جمع دو تابع به صورت

$$\int_0^x [N_1(y) + N_2(y)] dy = \int_0^x N_1(y) dy + \int_0^x N_2(y) dy \quad (16)$$

به صورت رابطه (۱۷) بازنویسی می‌شود:

$$g(x, s, Q_{ij}(y, s), f_{ij}(y)) = \left. \begin{aligned} & \frac{e^{\left(\theta_{ij} - \xi_{ij}(s)\right) \frac{x}{L_{ij}}}}{a_{ij}(s)} \int_0^x e^{\left(\xi_{ij}(s) - \theta_{ij}\right) \frac{y}{L_{ij}}} A_{ij}Q_{ij}(y, s) dy \\ & - \frac{e^{\left(\theta_{ij} + \xi_{ij}(s)\right) \frac{x}{L_{ij}}}}{a_{ij}(s)} \int_0^x e^{-\left(\xi_{ij}(s) + \theta_{ij}\right) \frac{y}{L_{ij}}} A_{ij}Q_{ij}(y, s) dy \end{aligned} \right\} I \\ & + \left. \begin{aligned} & \frac{e^{\left(\theta_{ij} - \xi_{ij}(s)\right) \frac{x}{L_{ij}}}}{a_{ij}(s)} \int_0^x e^{\left(\xi_{ij}(s) - \theta_{ij}\right) \frac{y}{L_{ij}}} A_{ij}f_{ij}(y) dy \\ & - \frac{e^{\left(\theta_{ij} + \xi_{ij}(s)\right) \frac{x}{L_{ij}}}}{a_{ij}(s)} \int_0^x e^{-\left(\xi_{ij}(s) + \theta_{ij}\right) \frac{y}{L_{ij}}} A_{ij}f_{ij}(y) dy \end{aligned} \right\} II \quad (17)$$

1 Lagrange method

2 Wronskian



همان طور که در رابطه (۱۶) ملاحظه می‌شود، بخش اول تأثیر عبارت منبع و بخش دوم اثر شرط اولیه را در نظر می‌گیرد. پاسخ نهایی معادله دیفرانسیل (۶) از مجموع دو جواب عمومی و خصوصی محاسبه شده به صورت رابطه (۱۷) می‌باشد:

$$C_{ij}(x,s) = B_1 e^{\left(\theta_{ij} + \xi_{ij}(s)\right)/L_{ij}} + B_2 e^{\left(\theta_{ij} - \xi_{ij}(s)\right)/L_{ij}} + g(x,s,Q_{ij}(y,s),f_{ij}(y)) \quad (۱۸)$$

باتوجه به رابطه (۱۷)، ثابت‌های  $B_1$  و  $B_2$  نمایان است، که برای محاسبه آن‌ها بایستی رابطه شرایط مرزی لاپلاس‌گیری شده معادله (۷) را به کار برد، بنابراین با اعمال رابطه (۷) در نقاط  $x=0$  و  $x=L_{ij}$  روابط زیر حاصل می‌شوند:

$$C_{ij}(0,s) = B_1 + B_2 = A_{ij}C_i(s) \quad (۱۹)$$

$$C_{ij}(L_{ij},s) = B_1 e^{\left(\theta_{ij} + \xi_{ij}(s)\right)} + B_2 e^{\left(\theta_{ij} - \xi_{ij}(s)\right)} + g(L_{ij},s,Q_{ij}(y,s),f_{ij}(y)) = A_{ij}C_j(s)$$

بادرنظر گرفتن عبارت زیر:

$$\eta_{ij}(s) = \frac{-a_{ij}(s)e^{-\theta_{ij}}g(L_{ij},s,Q_{ij}(y,s),f_{ij}(y))}{2\sinh(\xi_{ij}(s))} \quad (۲۰)$$

بنابراین، ضرایب ثابت  $B_1$  و  $B_2$  با درنظر گرفتن معادله (۱۹) و حل دستگاه معادلات (۱۸)، به صورت زیر محاسبه می‌شوند:

$$B_1 = \frac{A_{ij}C_j(s)e^{-\theta_{ij}} - A_{ij}C_i(s)e^{-\xi_{ij}(s)}}{2\sinh(\xi_{ij}(s))} + \frac{\eta_{ij}(s)}{a_{ij}(s)} \quad (۲۱)$$

و به طور مشابه:

$$B_2 = \frac{A_{ij}C_i(s)e^{\xi_{ij}(s)} - A_{ij}C_j(s)e^{-\theta_{ij}}}{2\sinh(\xi_{ij}(s))} - \frac{\eta_{ij}(s)}{a_{ij}(s)} \quad (۲۲)$$

با جایگذاری ثابت‌های  $B_1$  و  $B_2$  محاسبه شده در رابطه (۱۷)،تابع توزیع غلظت آلودگی برای یک شاخه از رودخانه بر حسب مکان و متغیر  $s$  به صورت زیر به دست می‌آید:

$$C_{ij}(x,s) = \left[ \frac{A_{ij}C_j(s)e^{-\theta_{ij}} - A_{ij}C_i(s)e^{-\xi_{ij}(s)}}{2\sinh(\xi_{ij}(s))} + \frac{\eta_{ij}(s)}{a_{ij}(s)} \right] e^{\left(\theta_{ij} + \xi_{ij}(s)\right)/L_{ij}} + \left[ \frac{A_{ij}C_i(s)e^{\xi_{ij}(s)} - A_{ij}C_j(s)e^{-\theta_{ij}}}{2\sinh(\xi_{ij}(s))} - \frac{\eta_{ij}(s)}{a_{ij}(s)} \right] e^{\left(\theta_{ij} - \xi_{ij}(s)\right)/L_{ij}} + g(x,s,Q_{ij}(y,s),f_{ij}(y)) \quad (۲۳)$$

تعمیم حل تحلیلی انجام شده برای یک شاخه رودخانه به شبکه رودخانه پس از حل معادله یک بعدی انتقال آلودگی بالحاظ عبارت منبع گستردگی در یک شاخه از رودخانه، مسئله اصلی نحوه اتصال شاخه‌ها در یک شبکه رودخانه می‌باشد، به همین منظور، فرض می‌شود که با حرکت از یک شاخه به شاخه دیگر، غلظت آلودگی به طور مداوم دچار تغییر شود. در همین راستا، به منظور تعیین حل انجام شده در یک شاخه رودخانه به شبکه رودخانه، معادله بیلان جرم لاپلاس‌گیری شده رابطه (۹) یک معادله کلیدی است، پس در این صورت با درنظر گرفتن معادله (۲۳) و انجام تغییرات لازم آن برای قرار دادن در معادله (۹)، معادلات زیر حاصل می‌شوند.

$$D_{ij} \frac{\partial C_{ij}(x,s)}{\partial x} \Big|_{x=0} = \left( \frac{V_{ij} + a_{ij}(s)}{2} \right) \left( \frac{A_{ij}C_j(s)e^{-\theta_{ij}} - A_{ij}C_i(s)e^{-\xi_{ij}(s)}}{2\sinh(\xi_{ij}(s))} \right) + \left( \frac{V_{ij} - a_{ij}(s)}{2} \right) \left( \frac{A_{ij}C_i(s)e^{\xi_{ij}(s)} - A_{ij}C_j(s)e^{-\theta_{ij}}}{2\sinh(\xi_{ij}(s))} \right) + \eta_{ij}(s) \quad (۲۴)$$

$$V_{ij}C_{ij}(0,s) = V_{ij} \left( \frac{A_{ij}C_j(s)e^{-\theta_{ij}} - A_{ij}C_i(s)e^{-\xi_{ij}(s)}}{2\sinh(\xi_{ij}(s))} \right) + V_{ij} \left( \frac{A_{ij}C_i(s)e^{\xi_{ij}(s)} - A_{ij}C_j(s)e^{-\theta_{ij}}}{2\sinh(\xi_{ij}(s))} \right)$$

با جایگذاری معادلات (۲۴) در رابطه (۹)، معادله نهایی بیلان جرم در شبکه رودخانه به صورت زیر به دست می‌آید:

$$\varphi_i(s) = \sum_j \left[ A_{ij} C_i(s) \left\{ \frac{V_{ij}}{2} + \frac{\alpha_{ij}(s)}{2 \tanh(\xi_{ij}(s))} \right\} - A_{ij} C_j(s) \left\{ \frac{\alpha_{ij}(s) e^{-\theta_{ij}}}{2 \sinh(\xi_{ij}(s))} \right\} \right] - \sum_j \eta_{ij}(s) \quad \text{رابطه ۲۵}$$

معادله بالا در قالب ماتریس به شکل زیر بیان می‌شود:

$$R(s) \bar{C}(s) = \bar{\Gamma}(s) \quad \text{رابطه ۲۶}$$

که در آن:

$$\Gamma_i(s) = \varphi_i(s) + \sum_j \eta_{ij}(s) \quad \text{رابطه ۲۷}$$

$$R_{ij}(s) = \begin{cases} \sum_k A_{ik} \left[ \frac{V_{ik}}{2} + \frac{\alpha_{ik}(s)}{2 \tanh(\xi_{ik}(s))} \right] & i = j \\ \frac{-A_{ij} \alpha_{ij}(s) e^{-\theta_{ij}}}{2 \sinh(\xi_{ij}(s))} & \text{otherwise} \end{cases} \quad \text{رابطه ۲۸}$$

رابطه (۲۶) نشان می‌دهد که، برای هر گره  $i$  در شبکه رودخانه، یک معادله خطی در  $(s), C_1(s), C_2(s), \dots, C_n(s)$ ، جایی که  $n$  تعداد گره‌هاست، وجود دارد، بنابراین  $(s) \bar{C}(s)$  به صورت ماتریس‌های تک‌ستونی خواهد بود. در رابطه (۲۶)،  $R(s)$  ماتریس پخشیدگی یا انتشار نام دارد، که به صورت یک ماتریس نامتقارن  $n \times n$  بوده و برای هر گره در شبکه رودخانه یک سطر و یک ستون دارد. در رابطه (۲۷)،  $(s)$  عبارت مربوط به اثر شرط اولیه و عبارت منبع بوده، که از یک رابطه انتگرالی تشکیل شده است. این ترم در اثر حل

معادله ODE ناهمگن معادله (۶) و از طریق جواب خصوصی آن وارد محاسبات شده است. در صورت صرف‌نظر کردن از اثر عبارت منبع و شرط اولیه،  $\sum_j \eta_{ij}(s) = 0$  می‌شود. در مورد ماتریس اطلاعات بیشتر در مورد ماتریس انتشار به

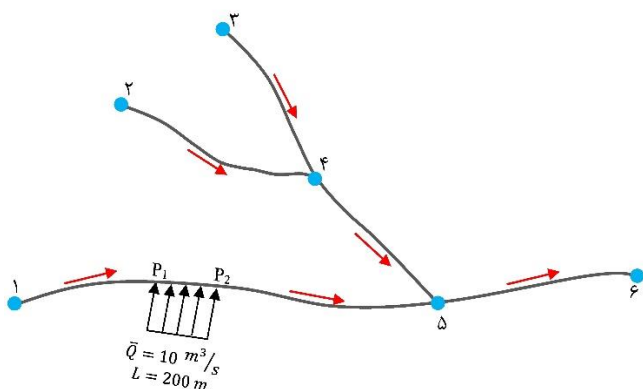
پیوست مقاله مراجعه شود. با توجه به رابطه (۲۶)، با معلوم بودن ماتریس‌های  $(s) \bar{\Gamma}$  (ماتریس معلومات بر حسب متغیر  $s$  لاپلاس) و  $(s)$  (ماتریس ضرایب بر حسب متغیر  $s$  لاپلاس) از طریق محاسبه، می‌توان  $(s) \bar{C}(s)$  را بر حسب متغیر  $s$  لاپلاس با استفاده از الگوریتم‌های عددی حل دستگاه معادلات جبری غیرخطی محاسبه نمود و در انتهای مقادیر غلظت در هر گره را با استفاده از الگوریتم‌های لاپلاس‌گیری وارون عددی به دست آورد. در زمینه الگوریتم‌های عددی لاپلاس وارون، چارچوب آبیت-ویت (Abate & Whitt, 2006) جزء پرکاربردترین روش در بین سایر روش‌ها بوده، که از روش‌های رایج این چارچوب می‌توان به روش‌های گاور-استهفست (Stehfest, 1970)، تالبوت (Talbot, 1979)، اولر (Horváth et al., 2020; Horváth et al., 2020) و توزیع نمایی ماتریس مرکز (CME) (Abate et al., 2000) اشاره نمود. در پژوهش حاضر، از روش CME به دلیل دقت بالاتر، سرعت محاسبات بیشتر، پایداری از نظر عددی تا مرتبه ۱۰۰۰ و عدم ایجاد امواج نوسانی در آن (Horváth et al., 2020) استفاده شده است. لازم به ذکر است که، تمامی داده‌های جریان (سرعت)، هندسی (سطح مقطع و طول شاخه‌ها) و آلاینده (ضرایب زوال واکنش و پراکنده) به صورت ماتریس‌هایی با درایه‌های مشخص براساس ماتریس نحوه اتصال پر و مقدار دهی می‌شوند و هر درایه از هر کدام از ماتریس‌ها بیان گر ویژگی‌های یک شاخه از شبکه رودخانه مورد نظر خواهد بود. ماتریس نحوده اتصال به عنوان مهم‌ترین داده ورودی به مدل، یک ماتریس  $n \times n$  بوده (که  $n$  برابر تعداد کل گره‌های سرعت) و به صورت درایه‌های صفر و یک بیان می‌شود. به عبارتی دیگر، برای شبکه رودخانه اگر اتصالی وجود نداشته باشد، مقدار درایه برای دو گره مورد نظر برابر با یک و در غیر این صورت برابر صفر خواهد بود. در این پژوهش به منظور به کارگیری از حل تحلیلی پیشنهادی از نرم‌افزارهای برنامه‌نویسی استفاده می‌شود.

#### تعریف مثال‌های ارائه شده از شبکه‌های رودخانه جهت شبیه‌سازی

در این بخش، به منظور ارزیابی و کاربرد حل تحلیلی پیشنهادی دو مثال ارائه شده است که در مثال اول، یک منبع آلاینده فعال گسترده (غیر نقطه‌ای) با طولی به اندازه ۲۰۰ متر، در یک شبکه رودخانه شاخه‌ای در قسمت ابتدایی شاخه اصلی شبکه مورد نظر (شکل ۲) قرار گرفته و غلظت آسودگی ورودی دلخواه از مرازهای شبکه را دستخوش تغییراتی می‌کند. در مثال دوم نیز همانند مثال اول، یک منبع آلاینده غیر نقطه‌ای با یک طول ۲۰۰ متری، در یک شبکه رودخانه حلقه‌ای، در بخش میانی شاخه اصلی آن، وارد سیستم شده (شکل

((۳)) و غلظت آلودگی‌های ورودی از مرزها را تحت تاثیر قرار می‌دهد. در ادامه نیز، نمای هر یک از شبکه‌های رودخانه دلخواه به همراه مشخصات آن‌ها ذکر شده است.

**مثال اول:** مدل‌سازی شبکه رودخانه شاخه‌ای با الگوی شرایط مرزی دلخواه وجود یک منبع آلاینده فعال گستردۀ در مثال اول، به بررسی عملکرد حل تحلیلی موجود با روش تبدیل لاپلاس به‌ازاء عبارت منبع گستردۀ در یک شبکه رودخانه شاخه‌ای پرداخته می‌شود. شکل (۲) نمای شماتیک یک شبکه رودخانه شاخه‌ای با جهت جریان در هر شاخه آن پس از نامگذاری گره‌ها را نشان می‌دهد. تمامی مشخصات جریان، هندسی و آلاینده شبکه رودخانه شاخه‌ای مورد نظر در جدول (۱) آمده است، که این مقادیر بایستی به صورت ماتریس‌هایی با درایه‌های مشخص به عنوان ورودی به مدل داده شوند. همچنین در این مدل‌سازی از تاثیر مکانیزم واکنش صرف‌نظر شده است. همان‌طور که در شکل (۲) ملاحظه می‌شود، یک منبع آلاینده غیرنقطه‌ای (گستردۀ) با دبی تخلیه گستردۀ ۱۰ مترمکعب بر ثانیه بر متر به صورت بارگذاری با سطح تخلیه‌ای به طول ۲۰۰ متر، در شاخه ۱۵ وارد شبکه مورد نظر می‌شود.



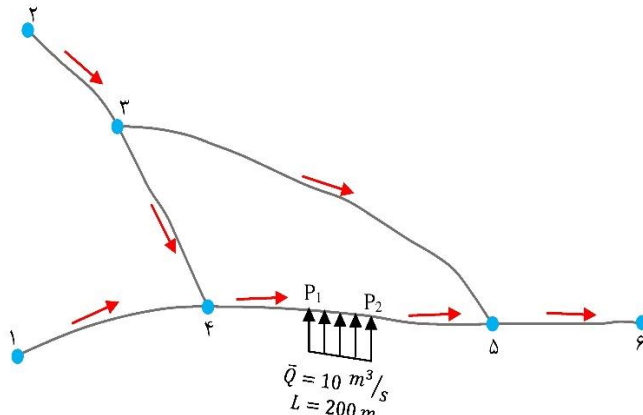
شکل ۲. نمای شماتیک شبکه رودخانه شاخه‌ای با جهت جریان در هر شاخه آن

جدول ۱. مشخصات جریان و آلاینده تخلیه شده در شبکه شاخه‌ای

$Q(m^3/s)$	$D(m^2/s)$	$V(m/s)$	$L(km)$	$s$	مسیر
۱۴*	۱۸	.۰۳۸۷	۶	.۰۰۰۱	۱۵
۴۰	۱۰	۱/۰۶	۴	.۰۰۰۱	۵۶
۷	۱۵	.۰۱۹۴	۳	.۰۰۰۱	۲۴
۹	۲۵	.۰۲۵	۳	.۰۰۰۱	۳۴
۱۶	۸	.۰۴۳۲	۲	.۰۰۰۱	۴۵

\* دبی ورودی شاخه ۱۵ برابر ۱۴ مترمکعب بر ثانیه می‌باشد، اما در کیلومترازهای ۴ تا ۲/۴ کیلومتری دبی گستردۀ ۱۰ متر مکعب بر ثانیه بر متر در نتیجه ورود منبع آلودگی گستردۀ وارد شاخه ۱۵ می‌شود.

**مثال دوم:** مدل‌سازی شبکه رودخانه حلقه‌ای با الگوی شرایط مرزی دلخواه وجود یک منبع آلاینده فعال غیرنقطه‌ای در این مثال، به منظور ارزیابی عملکرد حل تحلیلی پیشنهادی با رویکرد تبدیل لاپلاس با لحاظ عبارت منبع گستردۀ، شبیه‌سازی‌ای برای یک شبکه رودخانه حلقه‌ای انجام خواهد گرفت، که بدین منظور، شبکه رودخانه حلقه‌ای مطابق با شکل (۳) در نظر گرفته شده و مشخصات جریان، هندسی و آلاینده آن شامل شیب شاخه‌ها ( $S$ )، سرعت جریان ( $V$ )، ضریب پراکندگی ( $D$ )، طول هر شاخه ( $L$ ) و دبی جریان ( $Q$ ) در جدول (۲) آورده شده است. همچنین، ضریب زوال واکنش در تمامی شاخه‌ها برابر با صفر لحاظ شده است. لازم به ذکر است که، تمامی داده‌های ورودی جدول بایستی به صورت ماتریس‌هایی با درایه‌های مشخص که براساس ماتریس نحوه اتصال پر و مقداردهی می‌شوند، به مدل تحلیلی به عنوان ورودی داده شوند. با توجه به شکل (۳)، یک منبع آلاینده گستردۀای با توزیع دبی گستردۀ برابر با ۱۰ مترمکعب بر ثانیه بر متر در شاخه ۴۵ با سطح تخلیه‌ای به طول ۲۰۰ متر وارد شبکه حلقه‌ای می‌شود و دو مسیر ۲۳۴۵ و ۲۳۴۶ را تحت تاثیر قرار می‌دهد.



شکل ۳. نمای شماتیک شبکه رودخانه حلقه‌ای با جهت جریان در هر شاخه آن

جدول ۲. مشخصات جریان و آلاینده تخلیه شده در شبکه حلقه‌ای

$Q(\text{m}^3/\text{s})$	$D(\text{m}^2/\text{s})$	$V(\text{m}/\text{s})$	$L(\text{km})$	$s$	مسیر
۱۰	۲۰	۰/۳۸۱	۳	۰/۰۰۰۱	۱۴
۱۵/۰۹*	۱۰	۰/۵۴۳	۴	۰/۰۰۰۴	۴۵
۴۰	۲۵	۱/۱۸۹	۳	۰/۰۰۰۱	۵۶
۲۰	۸	۱/۲۵	۳	۰/۰۰۰۵	۲۳
۵/۰۹	۱۵	۰/۲۷	۴	۰/۰۰۰۵	۳۴
۱۴/۴۹۱	۱۷	۰/۵۷	۵	۰/۰۰۰۷۲	۳۵

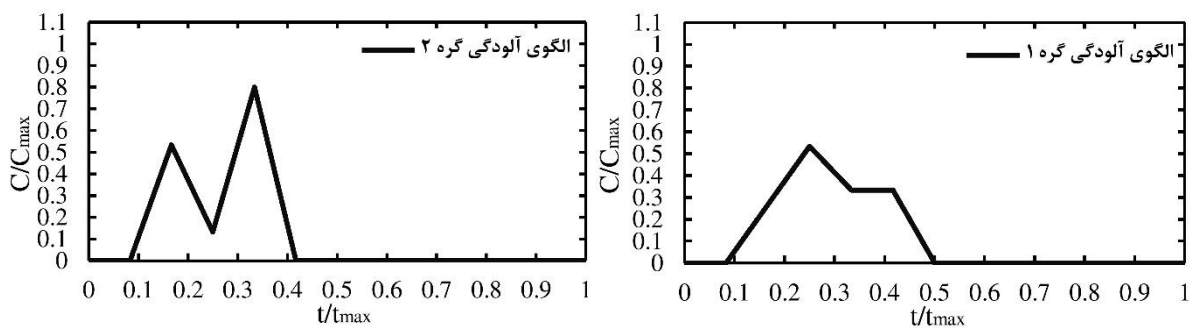
\* دبی ورودی شاخه ۴۵ برابر  $15/509$  مترمکعب بر ثانیه می‌باشد، اما در کیلومترازهای ۵ تا ۲ کیلومتری، توزیع دبی گستردگی  $10$  مترمکعب بر ثانیه بر متر در نتیجه ورود منبع آلودگی گستردگی وارد شاخه ۴۵ می‌شود.

## نتایج و بحث

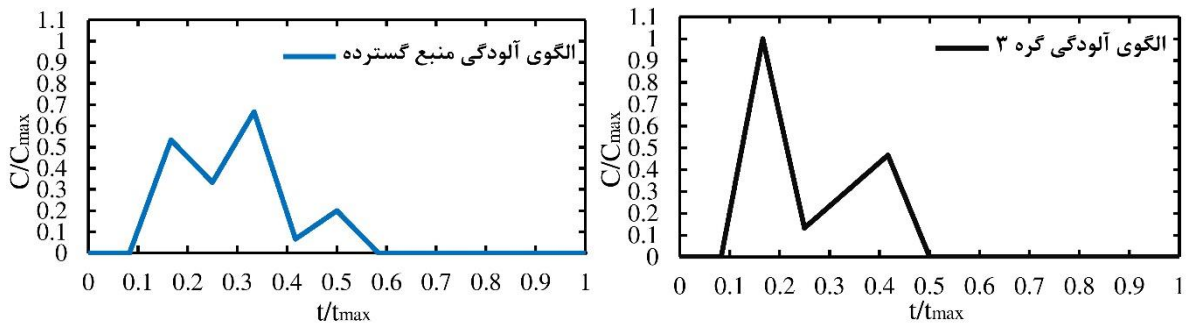
به منظور ارزیابی حل تحلیلی استخراج شده با به کارگیری روش تبدیل لاپلاس برای شبکه رودخانه، نتایج حاصل از شبیه‌سازی تحلیلی در قالب دو مثال مجزا ارائه شده است. یکی از مهم‌ترین مزیت‌های روش تحلیلی پیشنهادی در این پژوهش، نسبت به پژوهش‌های (2008) و Kilic & Aral (2009) که مبتنی بر روش جداسازی عددی معادله انتقال آلودگی در شبکه رودخانه می‌باشند، می‌توان به عدم وجود محدودیت شرط پایداری، محدودیت انتخاب گام مکانی و زمانی مناسب و عدم پیدایش خطای پراکندگی عددی اشاره نمود، که این موارد در حل تحلیلی موجود در این پژوهش وجود ندارد. همچنین روش پیشنهادی در مقایسه با دو پژوهش فوق و همین‌طور پژوهش (2019) دارای دقت و عملکرد بالاتری می‌باشد. از مهم‌ترین نقاط قوت این پژوهش لحظه عبارت منبع گستردگی در معادله انتقال آلودگی است که در پژوهش‌های مذکور این ترم لحظه نشده است. همچنین، می‌توان اذعان داشت که تاکنون منبع آلودگی گستردگی که به صورت یک طول معین در طول یک مسیر از یک شبکه رودخانه، یا یک شاخه رودخانه و یا محیط متخلخل وارد سیستم شود در بین پژوهش‌ها وجود نداشته و تنها منبع آلودگی به صورت نقطه‌ای (آلودگی از نوع محلول به صورت الگوی آلودگی واکنش‌پذیر درجه ۱ توزیع شده است) (Mashhadgarne et al., 2017, 2020, 2021) یا به صورت پیوسته در کل مسیر بوده است (Sanskrityayn et al., 2018, 2021).

### نتایج مدل‌سازی تحلیلی مثال اول (شبکه رودخانه شاخه‌ای)

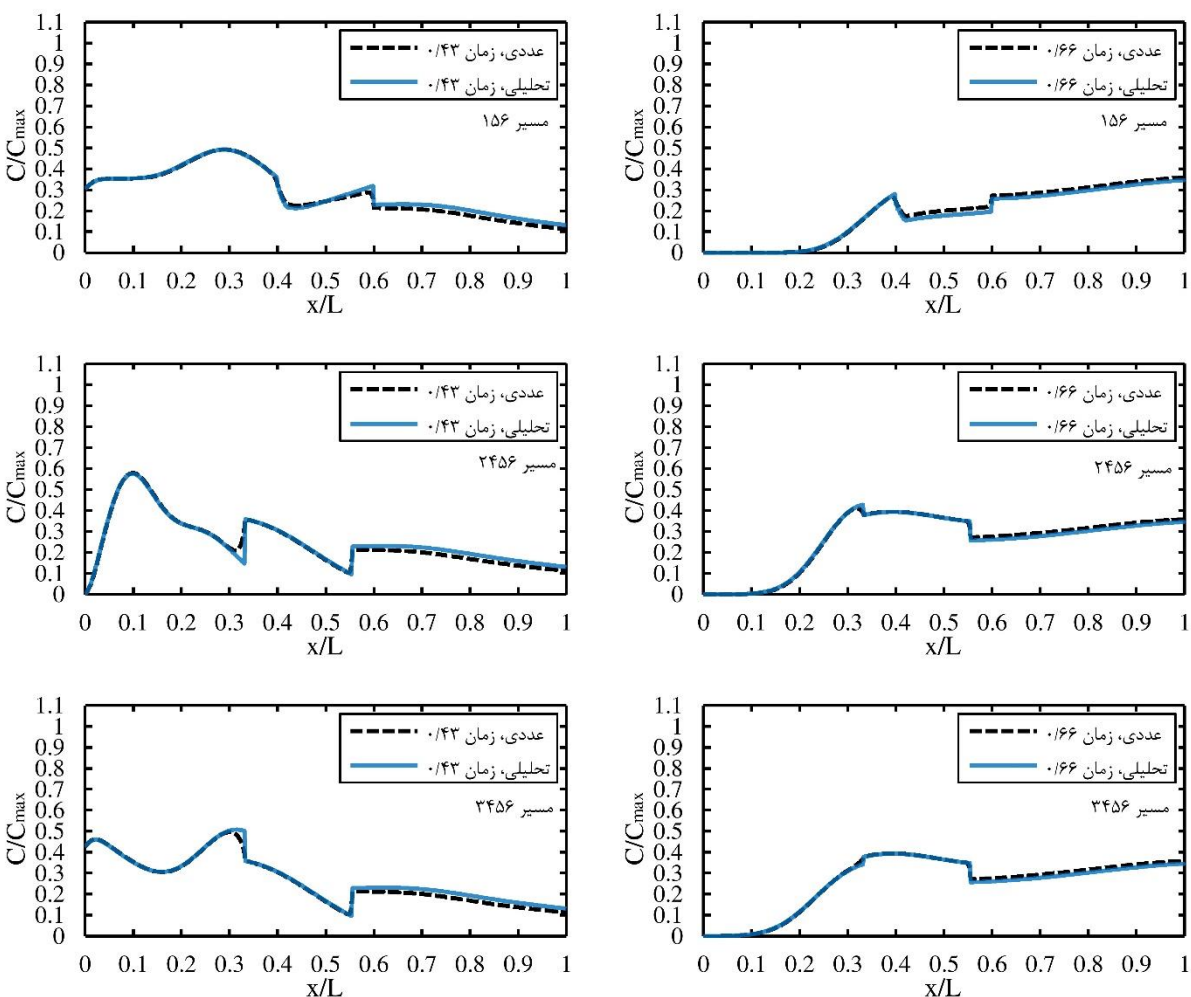
به منظور مدل‌سازی شبکه رودخانه شاخه‌ای شکل (۲)، زمان شبیه‌سازی برابر با ۱۲ ساعت و الگوی غلظت آلودگی ورودی بی‌بعد شده در نقاط ۱، ۲ و ۳ به ترتیب به صورت شکل‌های (۴) تا (۶) قابل مشاهده است. همچنین، الگوی غلظت آلودگی تخلیه شده برای منبع گستردگی مورد نظر در شاخه ۱۵، به صورت شکل (۷) در نظر گرفته شده است. پس از شبیه‌سازی، نمودارهای پروفیل مکانی غلظت بی‌بعد شده برای شبکه رودخانه شاخه‌ای شکل (۲) در دو زمان بی‌بعد شده  $0/43$  و  $0/66$  برای سه مسیر  $۱۵۶$ ،  $۲۴۵۶$  و  $۳۴۵۶$  مطابق با شکل (۸) می‌باشد. همچنین مقایسه آماری دو حل تحلیلی و عددی برای شبکه مورد نظر در قالب جدول (۳) آمده است.



شکل ۵. الگوی غلظت آبودگی ورودی از نقطه ۱ شکل ۵. الگوی غلظت آبودگی ورودی از نقطه ۲



شکل ۶. الگوی غلظت آبودگی ورودی از نقطه ۳ شکل ۶. الگوی غلظت آبودگی ورودی از منبع آلاینده گستردگی



شکل ۸. مقایسه نمودار پروفیل مکانی غلظت دو حل تحلیلی و عددی با لحاظ عبارت منبع گستردگی در شبکه رودخانه شاخه‌ای در دو زمان بی بعد شده ۰/۴۳ و ۰/۶۶

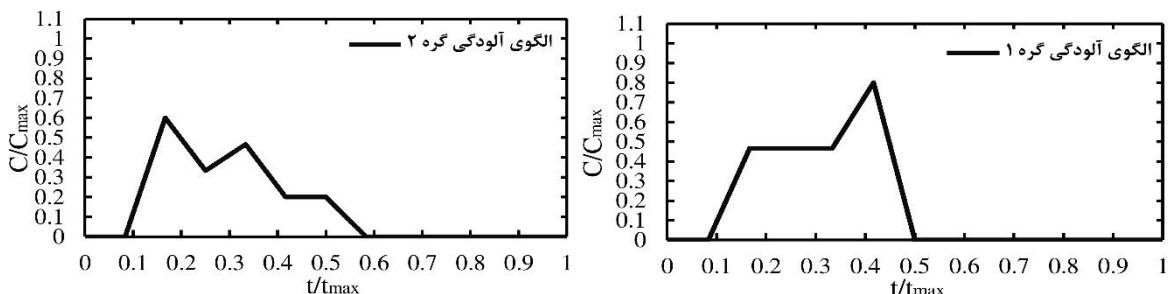
همان طور که در شکل (۸) ملاحظه می‌شود، در هر یک از زمان‌های بی‌بعد شده مذکور، نمودارهای پروفیل مکانی غلظت حاصله از هر دو حل تحلیلی و عددی برای سه مسیر مورد نظر تقریباً بر یکدیگر منطبق هستند، که این مورد نشان دهنده عملکرد مطلوب و توانایی بالای حل تحلیلی حاصله می‌باشد. علاوه بر این، انطباق دو حل تحلیلی و عددی مذکور، با توجه به شاخص‌های آماری ضریب همبستگی ( $R^2$ )، جذر میانگین مربع خطاهای (RMSE) و میانگین خطای مطلق (MAE) محاسبه شده در جدول (۳) کاملاً گویا می‌باشد. در مسیر ۱۵۶ در شکل (۸)، اثر ترم منبع گستردگی ورودی به این مسیر در کیلومتر از  $0/4$  به بعد قابل مشاهده بوده که در نتیجه بارگذاری گستردگی ۱۵۶ در شاخه ۱، غلظت در این مسیر تقویت شده و چون الگوهای آلدگی در نظر گرفته شده برای مدل‌سازی، به صورت نامنظم متغیر ورودی به شاخه ۱، غلظت در این مسیر تقویت شده و چون الگوهای آلدگی در سه مسیر به ترتیج از کل شبکه مورد نظر خارج می‌شوند. لازم به ذکر است که روندهای کاهشی و یا افزایشی غلظت در محل‌های اتصال شاخه‌ها به یکدیگر، در نتیجه بارگذاری (حاصل ضرب بی‌عدی در غلظت) مثبت از شاخه فرعی می‌باشد، که اگر این بارگذاری حاصله باعث برآیند غلظت مثبت شود، سبب افزایش غلظت و بالعکس، اگر باعث برآیند منفی غلظت گردد، سبب کاهش غلظت در محل‌های اتصال می‌گردد. همان‌طور که در جدول (۳) ملاحظه می‌شود، با توجه به مقایسه آماری دو حل تحلیلی و عددی در این پژوهش برای شبکه رودخانه شاخه‌ای فرضی شکل (۲)، شاخص‌های خطای آماری  $R^2$ ، جذر میانگین مربع خطاهای (RMSE) و میانگین خطای مطلق (MAE) در بهترین حالت، به ترتیب برابر با  $0/99/71$ ٪،  $0/14$ ٪،  $0/0101$  کیلوگرم بر مترمکعب و  $0/0101$  کیلوگرم بر مترمکعب متعلق به مسیر  $3456$  در زمان بی‌بعد  $0/66$  محاسبه شد و در بدترین حالت انطباق نیز به ترتیب برابر با  $0/97/96$ ٪،  $0/277$  کیلوگرم بر مترمکعب و  $0/0179$  کیلوگرم بر مترمکعب مربوط به مسیر  $2456$  در زمان بی‌بعد  $0/43$  محاسبه گردید، که این اعداد نشان‌دهنده انطباق بسیار خوب دو حل تحلیلی و عددی در شبکه رودخانه شاخه‌ای شکل (۲) می‌باشد.

جدول ۳. مقایسه آماری پروفیل مکانی دو حل تحلیلی و عددی با استفاده از شاخص‌های آماری برای شبکه رودخانه شاخه‌ای

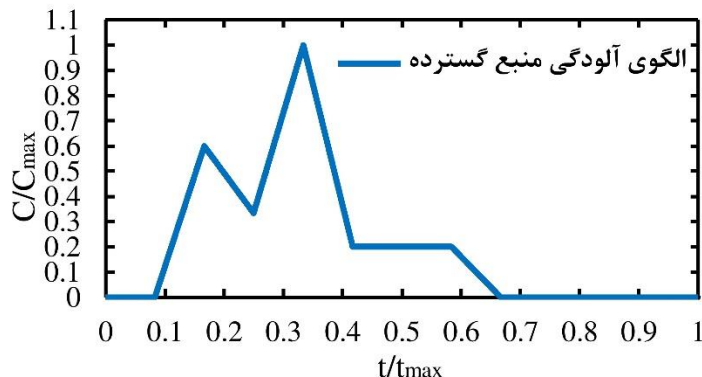
$R^2$ (%)	MAE (kg / m <sup>3</sup> )	RMSE (kg / m <sup>3</sup> )	مسیر و زمان
۹۹/۳۹	۰/۰۱۶۳	۰/۰۲۱۶	۰/۴۳، زمان ۱۵۶
۹۹/۶۲	۰/۰۱۵۲	۰/۰۱۹۴	۰/۶۶، زمان ۱۵۶
۹۷/۹۶	۰/۰۱۷۹	۰/۰۲۷۷	۰/۴۳، زمان ۲۴۵۶
۹۹/۶۳	۰/۰۱۰۵	۰/۰۱۴۲	۰/۶۶، زمان ۲۴۵۶
۹۸/۸۵	۰/۰۱۶۶	۰/۰۲۴۲	۰/۴۳، زمان ۲۴۵۶
۹۹/۷۱	۰/۰۱۰۱	۰/۰۱۴	۰/۶۶، زمان ۲۴۵۶

#### نتایج مدل‌سازی تحلیلی مثال دوم (شبکه رودخانه حلقه‌ای)

به منظور شبیه‌سازی شبکه رودخانه حلقه‌ای شکل (۳)، زمان کل شبیه‌سازی برابر با ۱۲ ساعت بوده و الگوهای آلدگی‌های مورد نظر به صورت الگوهای غلظت بی‌بعد شده نامنظم متغیر با زمان مطابق شکل (۹) و (۱۰) به ترتیب از مرزهای ۱ و ۲ به همراه الگوی منبع آلایینده گستردگی وارد به شاخه ۴۵ به صورت شکل (۱۱) در کیلومترهای ۵ تا  $5/2$  کیلومتری، وارد سیستم شبکه رودخانه حلقه‌ای مدنظر می‌شوند. بعد از شبیه‌سازی مثال فرضی مورد نظر، نتایج حاصله در قالب پروفیل‌های مکانی غلظت آلدگی بی‌بعد شده در طی دو زمان بی‌بعد  $0/451$  و  $0/648$  برای سه مسیر  $1456$ ،  $23456$  و  $2356$  مطابق شکل (۱۲) ارائه شده است. در ادامه نیز، به جهت مقایسه دو حل تحلیلی و عددی در این پژوهش، از شاخص‌های خطای آماری استفاده شده است، که نتایج آماری آن برای شبکه رودخانه حلقه‌ای مدنظر در جدول (۴) قابل مشاهده می‌باشد.



شکل ۹. الگوی غلظت آلدگی ورودی از نقطه ۱ شکل ۱۰. الگوی غلظت آلدگی ورودی از نقطه ۲



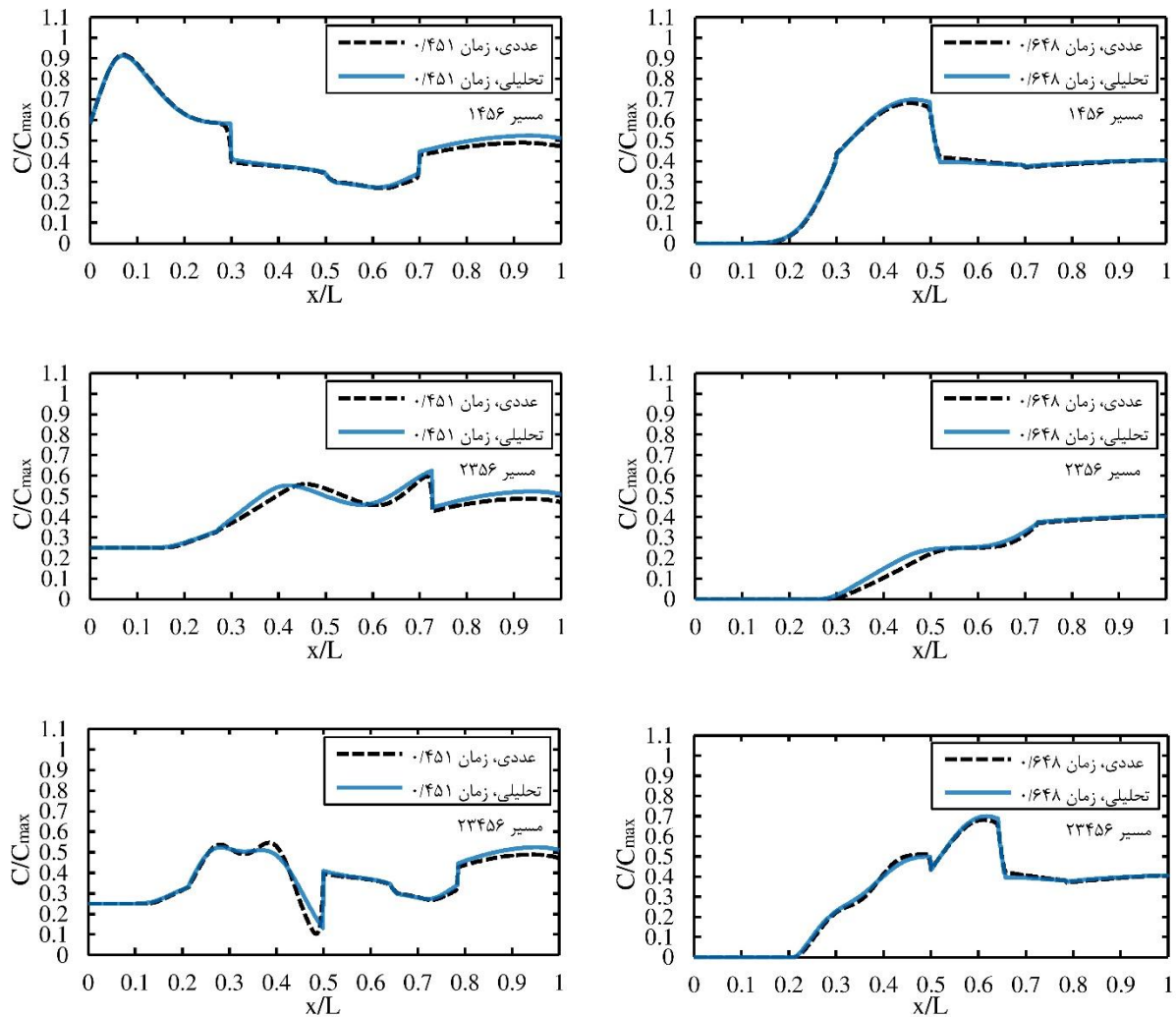
شکل ۱۱. الگوی غلظت آلودگی ورودی از منبع آلاینده گستردہ

باتوجه به شکل (۱۲)، می‌توان اذعان داشت که پروفیل‌های مکانی غلظت برای دو حل تحلیلی در هر دو زمان مورد نظر برای هر سه مسیر مذکور دارای انطباق خیلی خوبی با یکدیگر هستند، که این مورد باتوجه به شاخص‌های خطای آماری محاسبه شده در جدول (۴) کاملاً صدق می‌کند. همان‌طور که در شکل (۱۲) مشاهده می‌شود، آلودگی ناشی از منبع غیر نقطه‌ای دو مسیر ۱۴۵۶ و ۲۳۴۵۶ را به ترتیب در کیلومترهای بی‌بعد و تقریباً  $0/5$  به بعد را تحت تاثیر قرار داده و اثر آن در روند افزایشی یا کاهش غلظت در اثر برآیندهای مثبت و یا منفی غلظت آلودگی کاملاً مشخص است. همچنین باتوجه به شکل (۱۲) می‌توان اشاره نمود که عواملی همچون تفاوت مقدار سطح مقطع و دبی جریان هر شاخه در شبکه مورد نظر باعث گردیده تا برآیند غلظت آلودگی در نتیجه بارگذاری مثبت، در محل‌های اتصال مثبت و یا منفی شود، که در نتیجه تغییرات کاهشی و یا افزایشی غلظت در محل‌های اتصال را به دنبال دارد.

جدول ۴. مقایسه آماری پروفیل مکانی دو حل تحلیلی و عددی با استفاده از شاخص‌های آماری برای شبکه رودخانه حلقه‌ای

$R^2$ (%)	MAE (kg / m <sup>3</sup> )	RMSE (kg / m <sup>3</sup> )	مسیر و زمان
۹۹/۲۶	۰/۰۱۵۲	۰/۰۲۲۶	۰/۴۵۶، زمان ۱۴۵۶
۹۹/۸۶	۰/۰۰۶۷	۰/۰۰۹۹	۰/۶۴۸، زمان ۱۴۵۸
۹۵/۲۰	۰/۰۱۹۴	۰/۰۳۰۹	۰/۴۵۱، زمان ۲۳۴۵۶
۹۹/۷۵	۰/۰۰۹۲	۰/۰۱۲۹	۰/۶۴۸، زمان ۲۳۴۵۶
۹۶/۲۸	۰/۰۲۵	۰/۰۳۰۹	۰/۴۵۱، زمان ۲۳۵۶
۹۹/۲۱	۰/۰۱۲۷	۰/۰۲۱۳	۰/۶۴۸، زمان ۲۳۵۶

باتوجه به شکل (۱۲)، برای دو مسیر ۲۳۵۶ و ۲۳۴۵۶ در کیلومترهای  $0/5$  تا  $0/0$  اختلاف بسیار جزئی بین نمودار دو حل تحلیلی و عددی مشاهده می‌شود، که این اختلاف به دلیل وجود خطاهای رایج عددی نظری، خطای گرد کردن، خطای کوتاه کردن جملات ریاضی و بهویژه خطای پراکندگی عددی می‌باشد و قابل صرف نظر کردن است. باتوجه به جدول (۴)، براساس مقایسه آماری دو حل تحلیلی و عددی در این مطالعه برای شبکه رودخانه حلقه‌ای دلخواه شکل (۸)، شاخص‌های خطای آماری محاسبه شده  $R^2$ ، جذر میانگین مربع خطاهای (RMSE) و میانگین خطای مطلق (MAE) در بهترین حالت انطباق، به ترتیب برابر با  $0/۰۰۹۹$ ٪،  $۰/۰۰۶۷$ ٪،  $۰/۰۰۹۲$ ٪،  $۰/۰۱۹۴$ ٪،  $۰/۰۱۵۲$ ٪ و  $۰/۰۰۶۷$ ٪ کیلوگرم بر مترمکعب و  $۰/۰۳۰۹$ ٪،  $۰/۰۲۲۶$ ٪،  $۰/۰۲۱۳$ ٪،  $۰/۰۰۹۹$ ٪،  $۰/۰۱۲۷$ ٪ و  $۰/۰۰۶۷$ ٪ کیلوگرم بر مترمکعب متعلق به مسیر ۱۴۵۶ در زمان بی‌بعد  $۰/۶۴۸$  بوده و در بدترین حالت نیز به ترتیب برابر با  $۰/۰۳۰۹$ ٪،  $۰/۰۲۱۳$ ٪،  $۰/۰۰۹۹$ ٪،  $۰/۰۱۵۲$ ٪،  $۰/۰۰۶۷$ ٪ و  $۰/۰۰۹۲$ ٪ کیلوگرم بر مترمکعب مربوط به مسیر ۲۳۴۵۶ در زمان بی‌بعد  $۰/۴۵۱$  می‌باشد، که این اعداد نشان‌دهنده انطباق بسیار عالی دو حل تحلیلی و عددی در این مطالعه برای شبکه رودخانه حلقه‌ای دلخواه شکل (۳) می‌باشد.



شکل ۱۲- مقایسه نمودار پروفیل مکانی غلظت دو حل تحلیلی و عددی با لحاظ عبارت منبع گستردگی در شبکه رودخانه حلقه‌ای در دو زمان بی بعد شده  $0/451$  و  $0/648$

### نتیجه‌گیری

در شبکه‌های رودخانه برای مدل‌سازی انواع آلودگی‌های نقطه‌ای و به‌ویژه گستردگی در طول مسیر آن علاوه بر مرزها، لازم است عبارت منبع در معادله انتقال آلودگی لحاظ شود، بنابراین، مهم‌ترین نوآوری این پژوهش، استخراج حل تحلیلی معادله انتقال آلودگی با لحاظ عبارت منبع گستردگی و شرط اولیه با استفاده از روش تبدیل لاپلاس در یک دامنه محدود با شرایط مرزی ورودی و خروجی از نوع اول برای شبکه رودخانه عام می‌باشد. به‌منظور کابرد حل تحلیلی پیشنهادی، شیوه‌سازی‌هایی بر روی دو مثال فرضی مجزا برای دو نوع شبکه رودخانه شاخه‌ای و حلقه‌ای، که هریک با وجود یک منبع آلاینده فعال گستردگی با الگوی نامنظم و شرایط مرزی دلخواه بودند، انجام شد و نتایج هر مثال به‌طور جداگانه به صورت نمودارهای پروفیل مکانی غلظت برای هر مسیر در مقایسه با حل عددی ارائه شد. از توانمندی روش تحلیلی پیشنهادی، می‌توان به شیوه‌سازی انواع شبکه‌های رودخانه‌ای اعم از شاخه‌ای و حلقه‌ای با درنظر گرفتن انواع الگوهای آلودگی منظم و نامنظم دلخواه برای شرایط مرزی و عبارت منبع گستردگی اشاره کرد. با توجه به این پژوهش، می‌توان اذعان داشت که روش تحلیلی تبدیل لاپلاس ابزاری قدرتمند در حل مسائل پیچیده معادلات دیفرانسیل جزئی ناهمگن از جمله معادله ADRE با لحاظ عبارت منبع می‌باشد، که ضمن کاربری آسان نسبت به سایر روش‌های تحلیلی، در آن نیازی به همگن کردن شرایط مرزی نسبت به روش‌های دیگر مانند روش GITT نمی‌باشد، اما این روش در کنار مزایای آن، دارای محدودیتی نیز می‌باشد، که می‌توان به لاپلاس‌گیری وارون اشاره نمود، چراکه در توابع پیچیده محاسبه شده بر حسب متغیر لاپلاس، امکان وارون گیری لاپلاس به صورت تحلیلی وجود ندارد، بنابراین، بایستی از الگوریتم‌های لاپلاس‌گیری عددی‌ای استفاده نمود که دقت و سرعت محاسبات بالاتری داشته باشند، که در این پژوهش الگوریتم کارآمد

CME این مشکل را بطرف نموده است. لازم به ذکر است که، در صورت پیچیدگی زیاد و بزرگتر شدن یک شبکه رودخانه در روش ارائه شده، ابعاد ماتریس‌های ورودی از جمله ماتریس سرعت، ماتریس ضریب پراکندگی و ... بیشتر شده و به تبع آن دستگاه معادلات جبری غیرخطی بزرگ‌تر می‌شود، که این مورد افزایش هزینه محاسباتی و زمان شبیه‌سازی را به دنبال خواهد داشت. همچنین، این پژوهش نشان داد که حل تحلیلی موجود دارای انطباق بسیار خوبی با حل عددی بوده و این مورد با توجه به شاخص‌های خطای آماری محاسبه شده نظری، ضریب همبستگی ( $R^2$ )، جذر میانگین مربع خطاهای ( $RMSE$ ) و میانگین خطای مطلق ( $MAE$ ) برای دو حل کاملاً گویا می‌باشد و با توجه به دقت بالا و عملکرد مناسب حل تحلیلی پیشنهادی، می‌توان اشاره نمود که به دلیل وجود خطاهای رایج در حل‌های عددی، روش تحلیلی موجود می‌تواند به عنوان ابزاری جهت صحبت‌سنجدی حل‌های عددی در شبکه رودخانه باشد.

### پیوست

شكل کلی پاسخ اختصاصی معادله (۶) به صورت رابطه (۲۹) بیان می‌شود:

$$g(x, s, \psi_{ij}(y, s)) = Z_1(x)C_1(x, s) + Z_2(x)C_2(x, s) \quad (29)$$

در رابطه (۲۹)، ضرایب  $Z_1(x)$  و  $Z_2(x)$  با روش تحلیلی لاگرانژ به صورت روابط زیر بدست می‌آیند:

$$Z_1(x) = \frac{1}{a_{ij}(s)} \int_0^x e^{-\left(\xi_{ij}(s) + \theta_{ij}\right) \frac{y}{L_{ij}}} \psi_{ij}(y, s) dy \quad (30)$$

$$Z_2(x) = -\frac{1}{a_{ij}(s)} \int_0^x e^{\left(\xi_{ij}(s) - \theta_{ij}\right) \frac{y}{L_{ij}}} \psi_{ij}(y, s) dy \quad (31)$$

با جایگذاری روابط (۳۰) و (۳۱) در معادله (۲۹)، رابطه (۱۵) بدست می‌آید.

### توضیحات تکمیلی ماتریس انتشار:

در زمینه ماتریس انتشار یعنی رابطه (۲۶)، لازم به ذکر است که، عناصر قطری ماتریس انتشار همگی مثبت و براساس رابطه بالای آن محاسبه شده و عناصر غیرقطري آن در صورت وجود اتصال دارای مقادیر منفی بوده و براساس رابطه پایینی آن محاسبه می‌شوند، همچنین، اگر اتصالی بین گره  $i$  و  $j$  وجود نداشته باشد، درایه ماتریس انتشار برابر با صفر خواهد بود. به عنوان مثال ماتریس انتشار شکل (۳)، به صورت زیر می‌باشد:

$$R(s) = \begin{bmatrix} R_{11} & 0 & 0 & -R_{14} & 0 & 0 \\ 0 & R_{22} & -R_{23} & 0 & 0 & 0 \\ 0 & -R_{32} & R_{33} & -R_{34} & -R_{35} & 0 \\ -R_{41} & 0 & R_{43} & R_{44} & -R_{45} & 0 \\ 0 & 0 & -R_{53} & -R_{54} & R_{55} & -R_{56} \\ 0 & 0 & 0 & 0 & -R_{65} & R_{66} \end{bmatrix} \quad (32)$$

### "هیچ‌گونه تعارض منافع توسط نویسنده‌گان وجود ندارد"

## REFERENCES

- Abate, J., Choudhury, G. L., & Whitt, W. (2000). An introduction to numerical transform inversion and its application to probability models. In *Computational probability* (pp. 257-323). Springer.
- Abate, J., & Whitt, W. (2006). A unified framework for numerically inverting Laplace transforms. *INFORMS Journal on Computing*, 18(4), 408-421.
- Amiri, S., Mazaheri, M., & Bavandpour Gilan, N. (2021). Introducing a new method for calculating the spatial and temporal distribution of pollutants in rivers. *International Journal of Environmental Science and Technology*, 18(12), 3777-3794.
- Bharati, V. K., Singh, V. P., Sanskrityayn, A., & Kumar, N. (2017). Analytical solution of advection-dispersion equation with spatially dependent dispersivity. *Journal of Engineering Mechanics*, 143(11), 04017126.
- Bharati, V. K., Singh, V. P., Sanskrityayn, A., & Kumar, N. (2018). Analytical solutions for solute transport from varying pulse source along porous media flow with spatial dispersivity in fractal & Euclidean framework. *European Journal of Mechanics-B/Fluids*, 72, 410-421.
- Bharati, V. K., Singh, V. P., Sanskrityayn, A., & Kumar, N. (2019). Analytical solution for solute transport

- from a pulse point source along a medium having concave/convex spatial dispersivity within fractal and Euclidean framework. *Journal of Earth System Science*, 128(8), 1-19.
- Biswal, B., & Marani, M. (2010). Geomorphological origin of recession curves. *Geophysical Research Letters*, 37(24), 5.
- Carr, E. J. (2020). New semi-analytical solutions for advection-dispersion equations in multilayer porous media. *Transport in Porous Media*, 135(1), 39-58.
- Chapra, S. C. (2008). *Surface water-quality modeling*. Waveland press.
- Chen, J.-S., Chen, J.-T., Liu, C.-W., Liang, C.-P., & Lin, C.-W. (2011). Analytical solutions to two-dimensional advection-dispersion equation in cylindrical coordinates in finite domain subject to first-and third-type inlet boundary conditions. *Journal of Hydrology*, 405(3-4), 522-531.
- Clement, T. P. (2001). Generalized solution to multispecies transport equations coupled with a first-order reaction network. *Water Resources Research*, 37(1), 157-163.
- Codeço, C. T. (2001). Endemic and epidemic dynamics of cholera: the role of the aquatic reservoir. *BMC infectious diseases*, 1(1), 1-14.
- Cotta, R. M., Knupp, D. C., & Naveira-Cotta, C. P. (2016). *Analytical heat and fluid flow in microchannels and microsystems*. Springer.
- Deng, X. (2019). Correlations between water quality and the structure and connectivity of the river network in the Southern Jiangsu Plain, Eastern China. *Science of the total environment*, 664, 583-594.
- Diamantini, E., Mallucci, S., & Bellin, A. (2019). A parsimonious transport model of emerging contaminants at the river network scale. *Hydrology and Earth System Sciences*, 23(1), 573-593.
- Edokpayi, J. N., Rogawski, E. T., Kahler, D. M., Hill, C. L., Reynolds, C., Nyathi, E., Smith, J. A., Odiyo, J. O., Samie, A., & Bessong, P. (2018). Challenges to sustainable safe drinking water: a case study of water quality and use across seasons in rural communities in Limpopo province, South Africa. *Water*, 10(2), 159.
- Fardadi Shilsar, M. J., Mazaheri, M., & Mohammad Vali Samani, J. (2022). Analytical solution of the pollution transport equation with variable coefficients in river using the Laplace Transform. *Water and Irrigation Management*, 11(4), 683-698. (In Farsi)
- Fawell, J., & Nieuwenhuijsen, M. J. (2003). Contaminants in drinking waterEnvironmental pollution and health. *British medical bulletin*, 68(1), 199-208.
- Fedi, A., Massabò, M., Paladino, O., & Cianci, R. (2010). A new analytical solution for the 2D advection-dispersion equation in semi-infinite and laterally bounded domain. *Applied Mathematical Sciences*, 4(75), 3733-3747.
- Genuchten, M. T., Leij, F. J., Skaggs, T. H., Toride, N., Bradford, S. A., & Pontedeiro, E. M. (2013a). Exact analytical solutions for contaminant transport in rivers 1. The equilibrium advection-dispersion equation. *Journal of Hydrology and Hydromechanics*, 61(2), 146.
- Genuchten, M. T., Leij, F. J., Skaggs, T. H., Toride, N., Bradford, S. A., & Pontedeiro, E. M. (2013b). Exact analytical solutions for contaminant transport in rivers. 2. Transient storage and decay chain solutions. *Journal of Hydrology and Hydromechanics*, 61(3), 250-259.
- Guerrero, J. P., Pimentel, L. C. G., Skaggs, T., & Van Genuchten, M. T. (2009). Analytical solution of the advection-diffusion transport equation using a change-of-variable and integral transform technique. *International Journal of Heat and Mass Transfer*, 52(13-14), 3297-3304.
- Heaton, L. L., López, E., Maini, P. K., Fricker, M. D., & Jones, N. S. (2012). Advection, diffusion, and delivery over a network. *Physical Review E*, 86(2), 021905.
- Horváth, G., Horváth, I., Almousa, S. A.-D., & Telek, M. (2020). Numerical inverse Laplace transformation using concentrated matrix exponential distributions. *Performance Evaluation*, 137, 102067.
- Horváth, G., Horváth, I., & Telek, M. (2020). High order concentrated matrix-exponential distributions. *Stochastic Models*, 36(2), 176-192.
- Kilic, S. G., & Aral, M. M. (2009). A fugacity based continuous and dynamic fate and transport model for river networks and its application to Altamaha River. *Science of the total environment*, 407(12), 3855-3866.
- Koplik, J., Redner, S., & Wilkinson, D. (1988). Transport and dispersion in random networks with percolation disorder. *Physical Review A*, 37(7), 2619.
- Korn, G. A., & Korn, T. M. (2000). *Mathematical handbook for scientists and engineers: definitions, theorems, and formulas for reference and review*. Courier Corporation.
- Kreyszig, E. (2009). *Advanced engineering mathematics*, (10th ed.) Wiley.
- Leij, F. J., Skaggs, T. H., & Van Genuchten, M. T. (1991). Analytical solutions for solute transport in three-



- dimensional semi-infinite porous media. *Water Resources Research*, 27(10), 2719-2733.
- Leij, F. J., Toride, N., & Van Genuchten, M. T. (1993). Analytical solutions for non-equilibrium solute transport in three-dimensional porous media. *Journal of Hydrology*, 151(2-4), 193-228.
- Leij, F. J., & Van Genuchten, M. T. (2000). Analytical modeling of nonaqueous phase liquid dissolution with Green's functions. *Transport in Porous Media*, 38(1), 141-166.
- Mashhadgarne, N., Mohammadvali Samani, J., & Mazaheri, M. (2013). Analytical Solution of Pollution Transport Equation with Arbitrary Time Pattern of Multiple Point Sources using Green's Function Method. *Journal of Hydraulics*, 8(4), 13-25. (In Farsi)
- Mashhadgarne, N., Mazaheri, M., & Mohammad Vali Samani, J. (2017). Analytical solutions to one-and two-dimensional Advection-Dispersion-Reaction equation with arbitrary source term time pattern using Green's function method. *Sharif Journal of Civil Engineering*, 33-2, 77-91. (In Farsi)
- Mashhadgarne, N., Mazaheri, M., & Mohammad Vali Samani, J. (2019). An analytical Solution to Bi-dimensional Unsteady Contaminant Transport Equation with Arbitrary Initial and Boundary Conditions. *Hydrophysics*, 5(1), 111-123. (In Farsi)
- Mashhadgarne, N., Mazaheri, M., & Mohammad Vali Samani, J. (2020). An Analytical Solution To Two-Dimensional Unsteady Mass Transfer Equation With Arbitrary Source Term In The River. *Sharif Journal of Mechanical Engineering*, 36-3, 119-109. (In Farsi)
- Mashhadgarne, N., Mazaheri, M., & Mohammad Vali Samani, J. (2021). An Analytical solution to two-dimensional unsteady pollutant transport equation with arbitrary initial condition and source term in the open channels. *Journal of the Earth and Space Physics*, 47(1), 77-90. (In Farsi)
- Massabó, M., Cianci, R., & Paladino, O. (2006). Some analytical solutions for two-dimensional convection-dispersion equation in cylindrical geometry. *Environmental Modelling & Software*, 21(5), 681-688.
- Massabó, M., Cianci, R., & Paladino, O. (2011). An analytical solution of the advection dispersion equation in a bounded domain and its application to laboratory experiments. *Journal of Applied Mathematics*, 2011(6), 14.
- Master, L. L., Flack, S. R., & Stein, B. A. (1998). *Rivers of life: critical watersheds for protecting freshwater biodiversity*. Nature Conservancy Arlington, Virginia.
- Matthews, W. J. (2012). *Patterns in freshwater fish ecology*. Springer Science & Business Media.
- Mazaheri, M., MV Samani, J., & MV Samani, H. (2013). Analytical solution to one-dimensional advection-diffusion equation with several point sources through arbitrary time-dependent emission rate patterns. *Journal of Agricultural Science and Technology*, 15(6), 1231-1245.
- Moranda, A., Cianci, R., & Paladino, O. (2018). Analytical solutions of one-dimensional contaminant transport in soils with source production-decay. *Soil Systems*, 2(3), 40.
- Park, E., & Zhan, H. (2001). Analytical solutions of contaminant transport from finite one-, two-, and three-dimensional sources in a finite-thickness aquifer. *Journal of Contaminant Hydrology*, 53(1-2), 41-61.
- Pascual, M., Bouma, M. J., & Dobson, A. P. (2002). Cholera and climate: revisiting the quantitative evidence. *Microbes and infection*, 4(2), 237-245.
- Ramezani, M., Noori, R., Hooshyaripor, F., Deng, Z. and Sarang, A., (2019). Numerical modelling-based comparison of longitudinal dispersion coefficient formulas for solute transport in rivers. *Hydrological Sciences Journal*, 64(7), pp.808-819.
- Rinaldo, A., Gatto, M., & Rodriguez-Iturbe, I. (2018). River networks as ecological corridors: A coherent ecohydrological perspective. *Advances in Water Resources*, 112, 27-58.
- Rodriguez-Iturbe, I., Muneepeerakul, R., Bertuzzo, E., Levin, S. A., & Rinaldo, A. (2009). River networks as ecological corridors: A complex systems perspective for integrating hydrologic, geomorphologic, and ecologic dynamics. *Water Resources Research*, 45(1), 1413.
- Sanskritayn, A., Bharati, V. K., & Kumar, N. (2018). Solute transport due to spatio-temporally dependent dispersion coefficient and velocity: analytical solutions. *Journal of Hydrologic Engineering*, 23(4), 04018009.
- Sanskritayn, A., Singh, V. P., Bharati, V. K., & Kumar, N. (2018). Analytical solution of two-dimensional advection-dispersion equation with spatio-temporal coefficients for point sources in an infinite medium using Green's function method. *Environmental Fluid Mechanics*, 18(3), 739-757.
- Sanskritayn, A., Suk, H., Chen, J.-S., & Park, E. (2021). Generalized Analytical Solutions of The Advection-Dispersion Equation with Variable Flow and Transport Coefficients. *Sustainability*, 13(14), 7796.
- Sanskritayn, A., Suk, H., & Kumar, N. (2017). Analytical solutions for solute transport in groundwater and riverine flow using Green's Function Method and pertinent coordinate transformation method. *Journal of Hydrology*, 547, 517-533.

- Srinivasan, V., & Clement, T. (2008a). Analytical solutions for sequentially coupled one-dimensional reactive transport problems–Part I: Mathematical derivations. *Advances in Water Resources*, 31(2), 203-218.
- Srinivasan, V., & Clement, T. (2008b). Analytical solutions for sequentially coupled one-dimensional reactive transport problems–Part II: Special cases, implementation and testing. *Advances in Water Resources*, 31(2), 219-232.
- Stehfest, H. (1970). Algorithm 368: Numerical inversion of Laplace transforms [D5]. *Communications of the ACM*, 13(1), 47-49.
- Talbot, A. (1979). The accurate numerical inversion of Laplace transforms. *IMA Journal of Applied Mathematics*, 23(1), 97-120.
- Yadav, R., & Kumar, L. (2019). Solute transport for pulse type input point source along temporally and spatially dependent flow. *Pollution*, 5(1), 53-70.
- Yang, S., Zhou, H., Zhang, S., & Wang, L. (2019). Analytical solutions of advective-dispersive transport in porous media involving conformable derivative. *Applied Mathematics Letters*, 92, 85-92.
- Zhang, M.-l., Shen, Y.-m., & Guo, Y. (2008). Development and application of a eutrophication water quality model for river networks. *Journal of Hydrodynamics*, 20(6), 719-726.